



Estudo do desgaste por atrição (deslizamento alternado) em esmalte bovino em função da carga normal e da lubrificação

Priscilla P. Coppo – USP
Cherlio Scandian – UFES
Rafael Y. Ballester – USP





INTRODUÇÃO



Desgaste dental

- prevalente em crianças e adultos 76,9% dos participantes com exposição de dentina em pelo menos 01 superfície; superfícies incisais com maior grau de desgaste (FARES et al., 2009)
- hábitos parafuncionais, dieta
- aumenta com a idade (VAN'T SPIJKER et al., 2009) - 60% da população adulta range dentes (LAVIGNE et al., 2001)
- prejudica a função mastigatória e diminui a qualidade de vida (CARLSSON; JOHANSSON; LUNDQVIST, 1985)





INTRODUÇÃO



Atrição dental





INTRODUÇÃO



Como evitar o desgaste dental?

- ❖ uso de aparelhos / placas de acrílico
- ❖ lubrificação com repositores salivares (WARDE et al., 2000; MEYER-LUECKEL; SCHULTE-MONTING; KIELBASSA, 2002; TANTBIROJN et al., 2008; SAJEWICZ, 2009)
- ❖ controle da dieta, eliminar hábitos nocivos ou doenças





INTRODUÇÃO



Esmalte dental

➤ Propriedades mecânicas:
módulo de elasticidade - 90 GPa
dureza - 4 GPa
tenacidade à fratura - $1,1 \text{ MPa.m}^{1/2}$

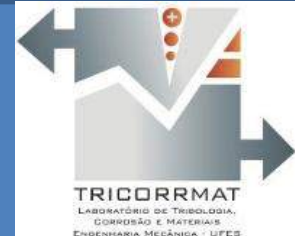
➤ Variação das propriedades:
anisotropia
composição não uniforme
grupo de dente
entre indivíduos

(Hassan; Caputo; Bunshah, 1981; Xu et al., 1998; Sakar-Deliormanli; Guden, 2006; Guidoni; Swain; Jager, 2008; He; Swain, 2008; He; Swain, 2009; Xie et al., 2009; Arsecularatne; Hoffman, 2010; Jeng et al., 2011; Hayashi-Sakai et al., 2012; He et al., 2013)





INTRODUÇÃO



O desgaste do esmalte dental é objeto
de muitos estudos



Poucos utilizam conceitos tribológicos

*Não foi encontrado nenhum estudo de
desgaste de esmalte e seus
micromecanismos oriundos do
deslizamento alternado de incisivo contra
incisivo (configuração que mais se
aproxima do tribossistema real de atrito)*



OBJETIVOS



Investigar o desgaste por deslizamento de esmalte contra esmalte dental, variando a carga normal aplicada e os meios de lubrificação.

- construir pares de espécimes que comportem um estudo tribológico de **deslizamento alternado**, partindo de incisivos bovinos;
- selecionar os pares a serem ensaiados a partir das propriedades de **dureza e de tenacidade à fratura**, dentro de uma faixa de valores relativamente estreita;
- realizar ensaios com **variações de carga normal (8 N e 16 N)** e quatro **condições de lubrificação**: saliva natural, saliva artificial e gel lubrificante oral Oralbalance® (Biotène) comparadas com um grupo controle sem lubrificação (seco).



MATERIAIS E MÉTODOS

Preparação dos espécimes



Dentes incisivos bovinos

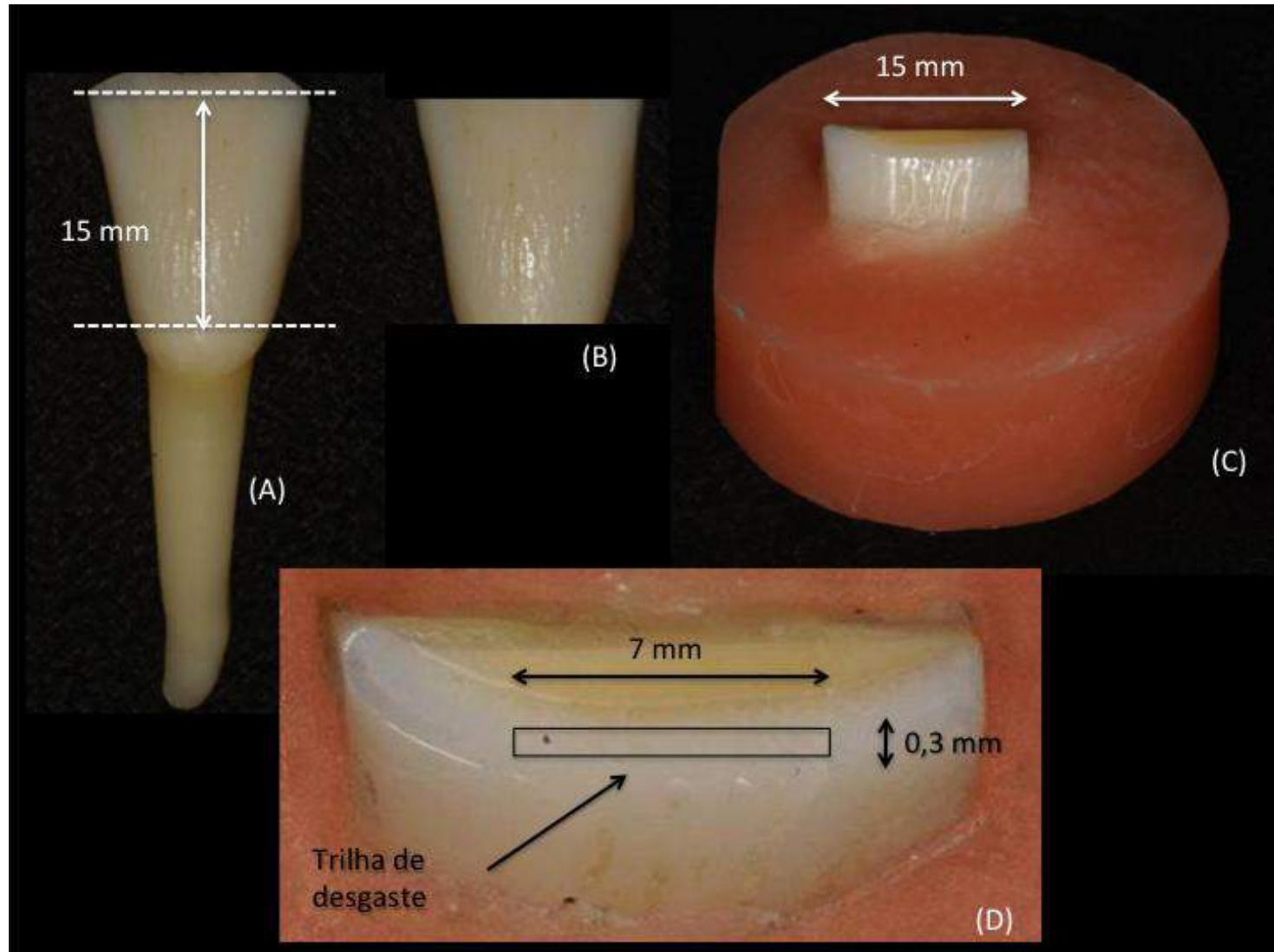
- Semelhanças:
microestrutura;
dureza e tenacidade à fratura

- Diferenças:
cristais de apatita (22-23 nm)
(humanos = 110-200 nm);
volume de esmalte disponível



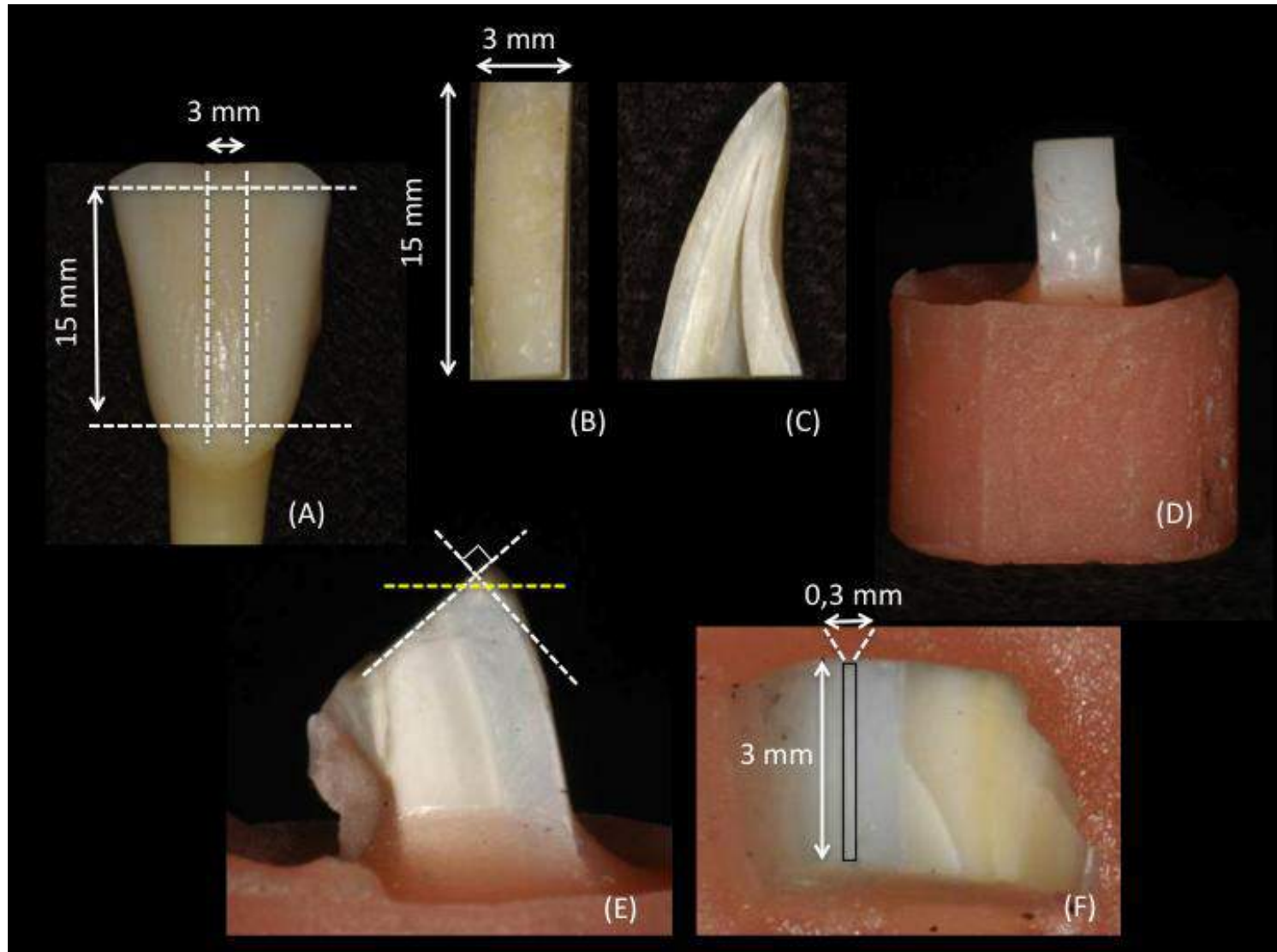
MATERIAIS E MÉTODOS

Preparação dos espécimes



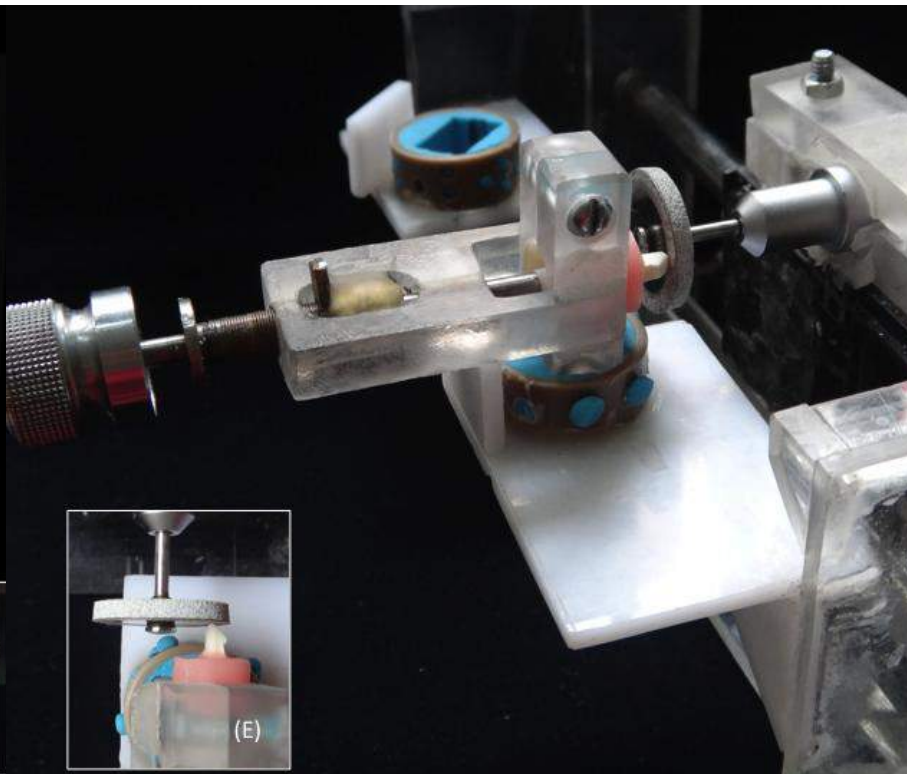
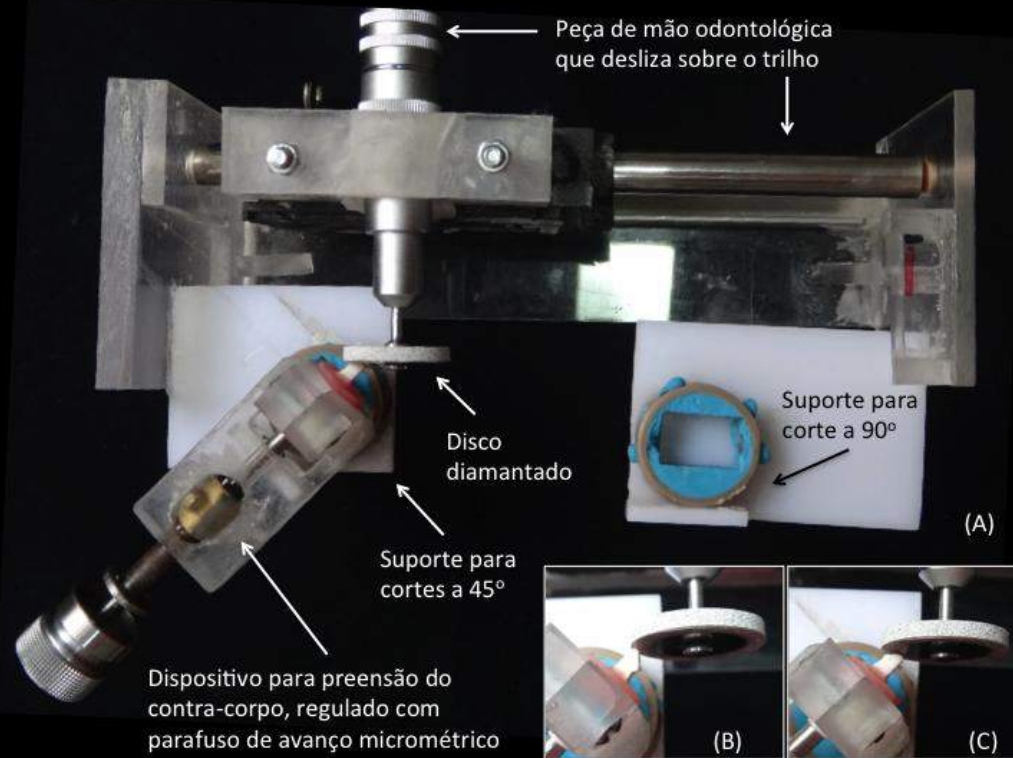
MATERIAIS E MÉTODOS

Preparação dos espécimes



MATERIAIS E MÉTODOS

Preparação dos espécimes





MATERIAIS E MÉTODOS

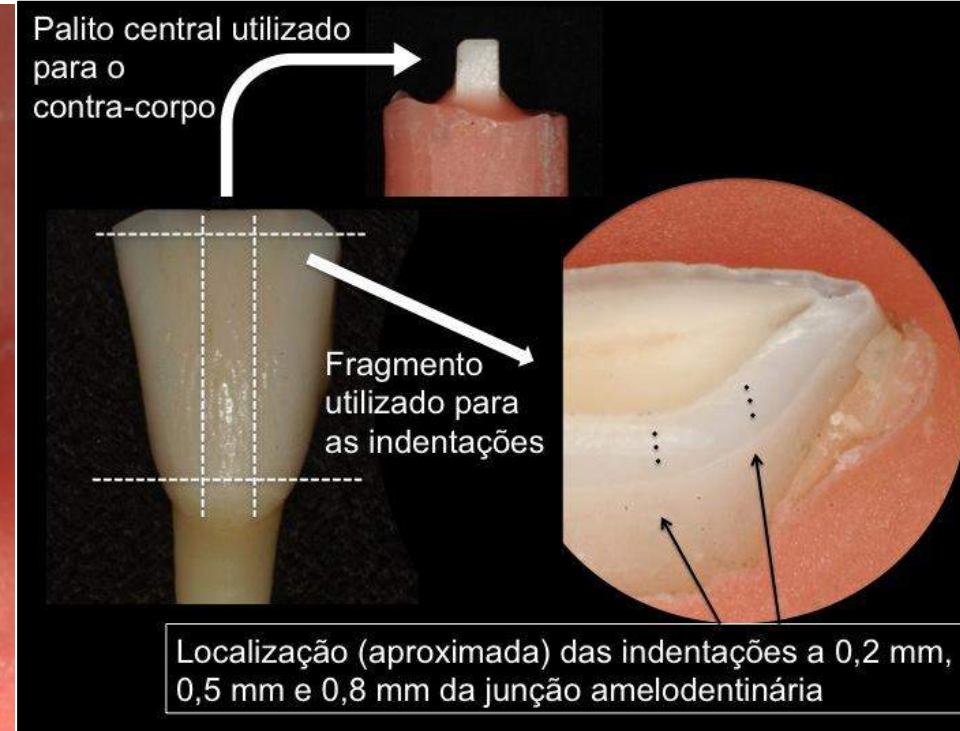
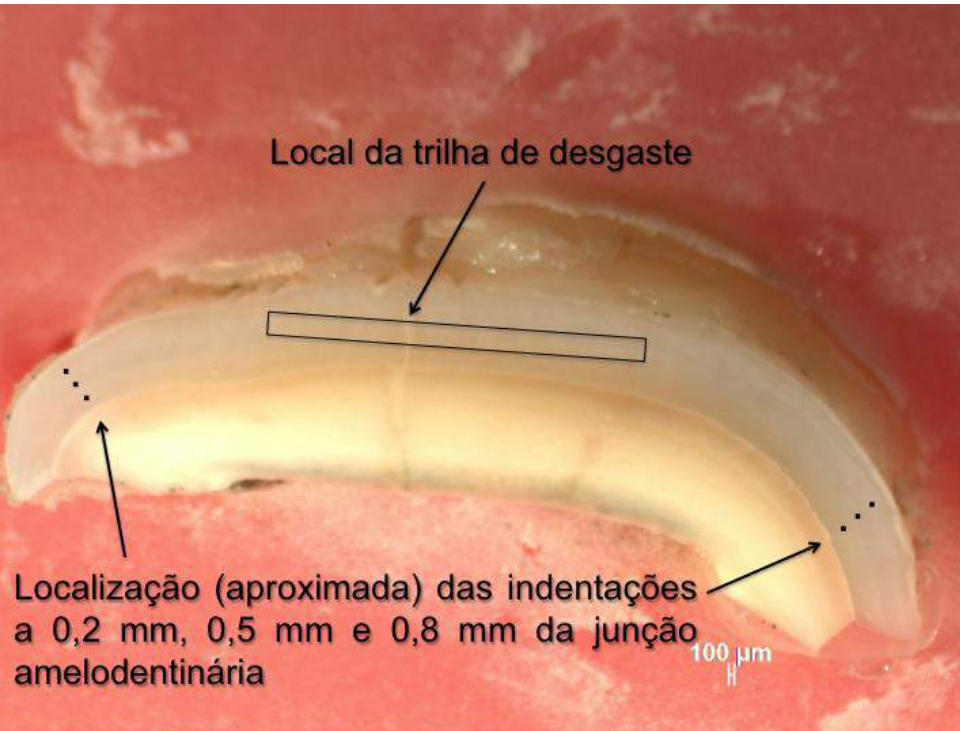
Seleção dos pares



Microdureza Vickers: 2,94 N; 15 s

(SAKAR-DELIORMANLI; GUDEN, 2006; JOHNSON; RAPOFF, 2007; AN et al., 2012)

Valor da dureza: média das 6 indentações realizadas
Selecionados os pares com microdureza: $200 \pm 21 \text{ HV}_{0,3}$





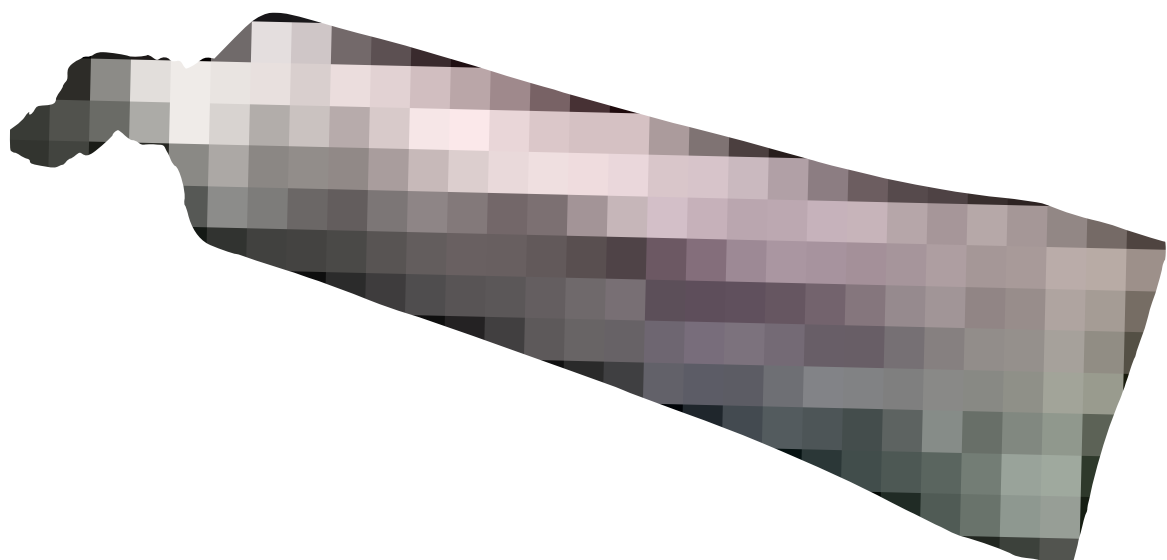
MATERIAIS E MÉTODOS

Lubrificantes



LUBRIFICANTES

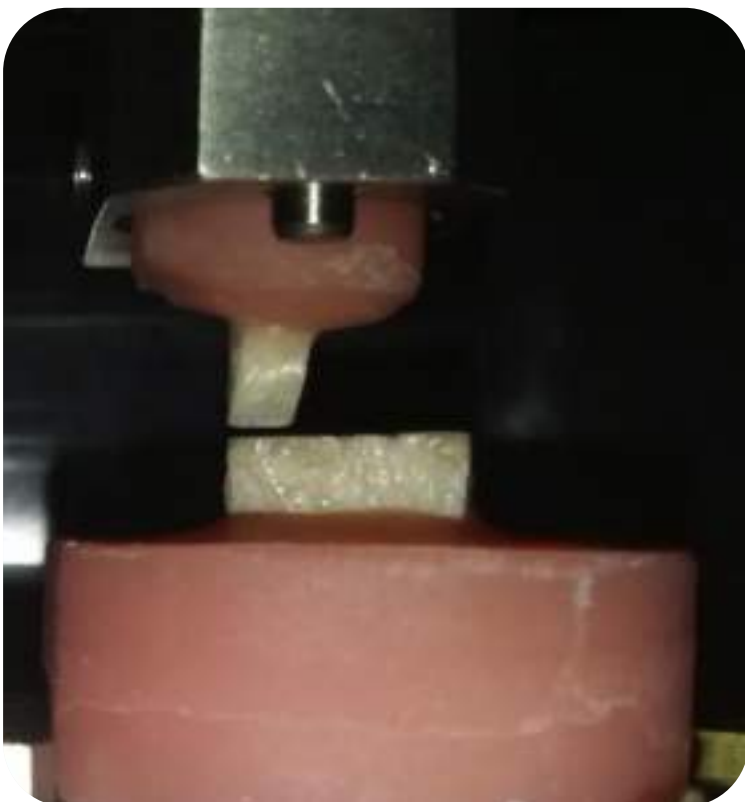
- Saliva natural
- Saliva artificial
- Gel lubrificante oral
- Seco





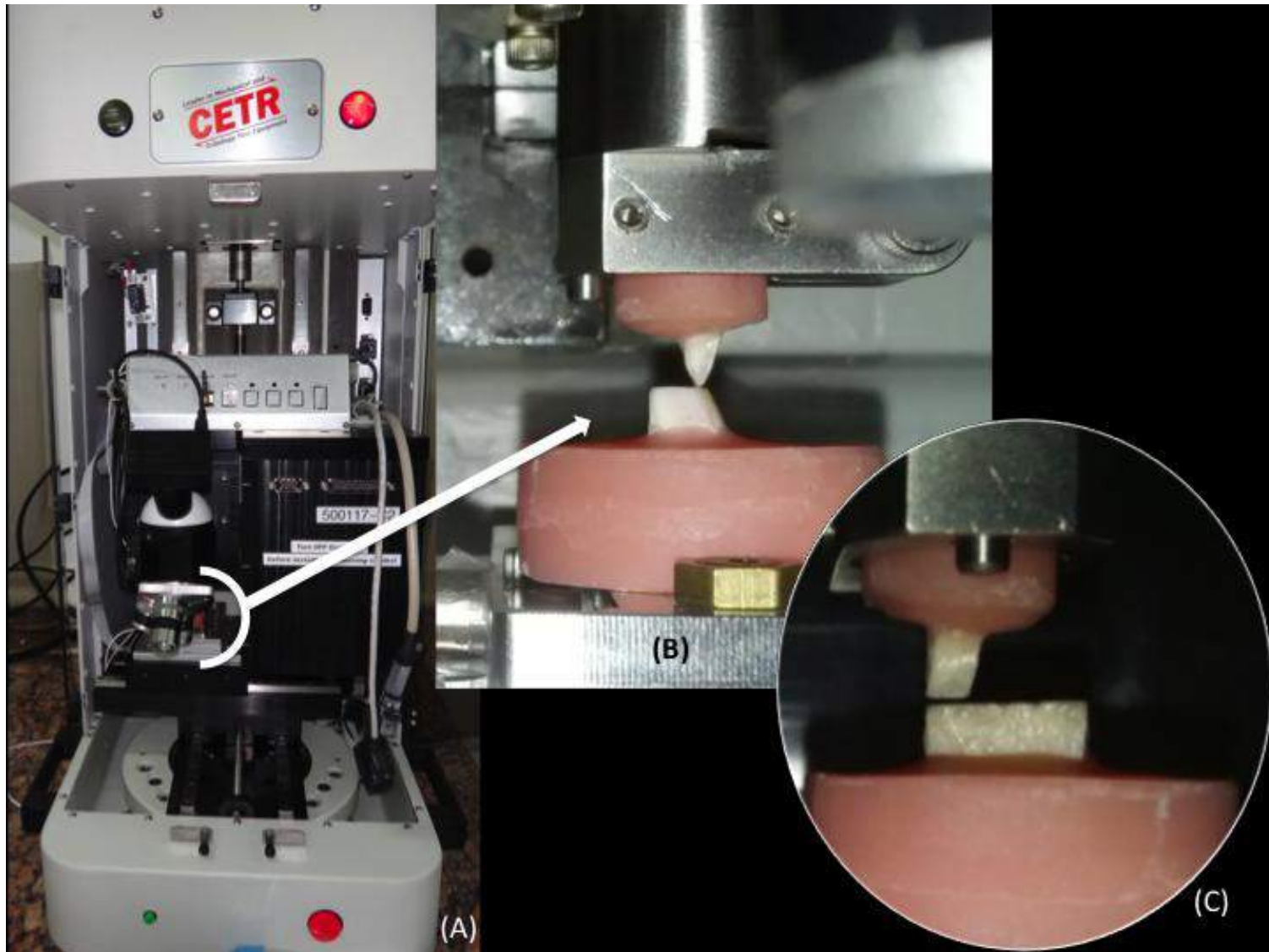
MATERIAIS E MÉTODOS

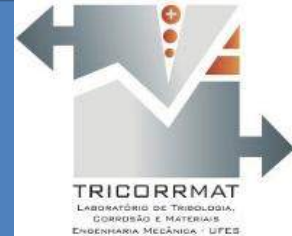
Ensaio de deslizamento alternado



MATERIAIS E MÉTODOS

Ensaio de deslizamento alternado





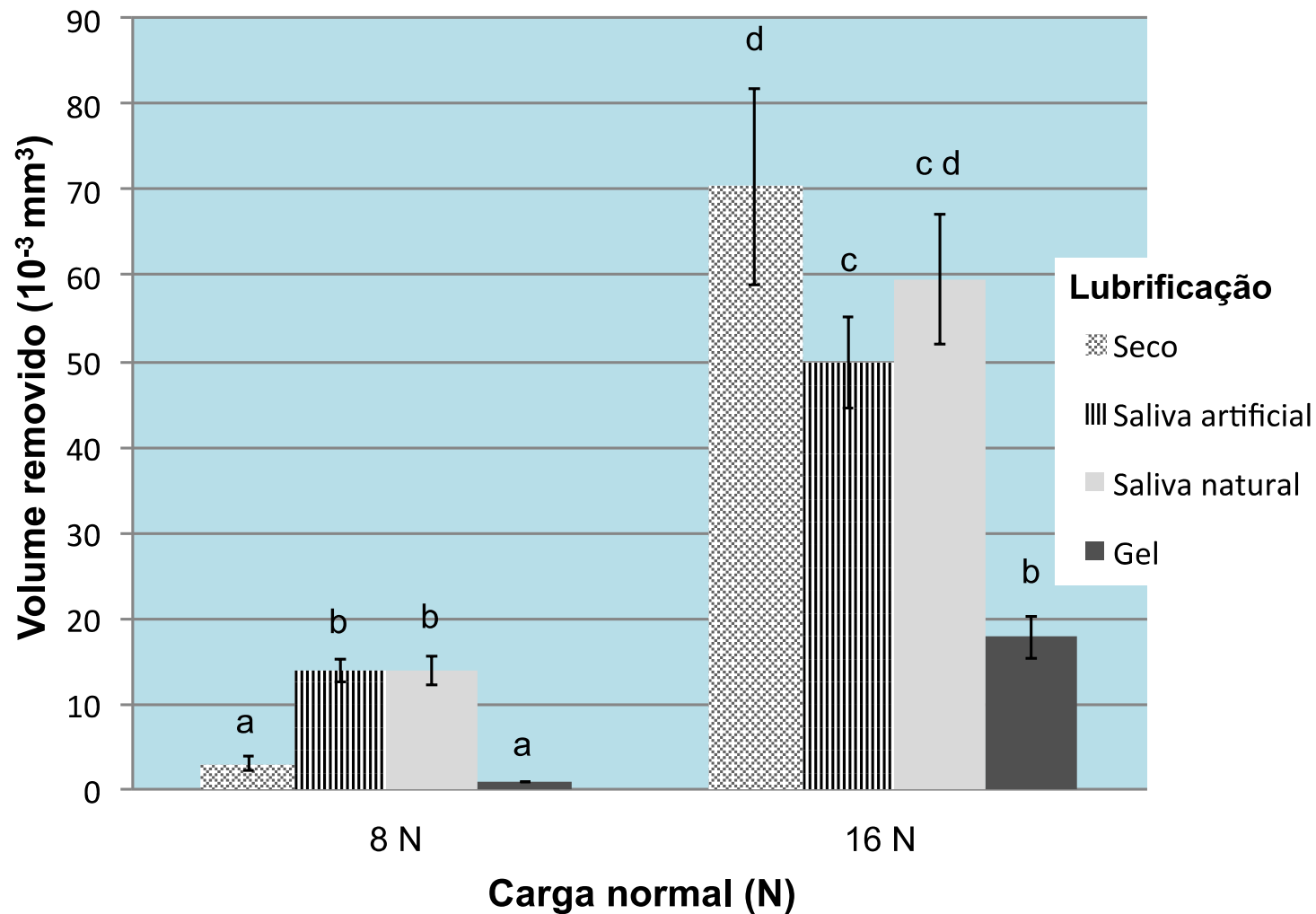
MATERIAIS E MÉTODOS

Ensaio de deslizamento alternado

Parâmetros do ensaio de deslizamento	Critérios	
Carga normal	8 N ou 16 N NEILL et al., 1989; KOHYAMA et al., 2004; REGALO et al., 2008	
Velocidade de deslizamento	2 mm/s Valor estimado	
Lubrificação	Seco, saliva artificial*, natural ou gel Oral Balance® *	Indicado para xerostomia*
Número de ciclos	225 Necessário para o estágio estacionário	
Distância deslizada	1,8 m -	
Tempo de duração	900 s Necessário para o estágio estacionário	
Frequência	0,25 Hz Valor estimado	
Número de pares em cada grupo	3 -	

RESULTADOS

Volume removido





RESULTADOS

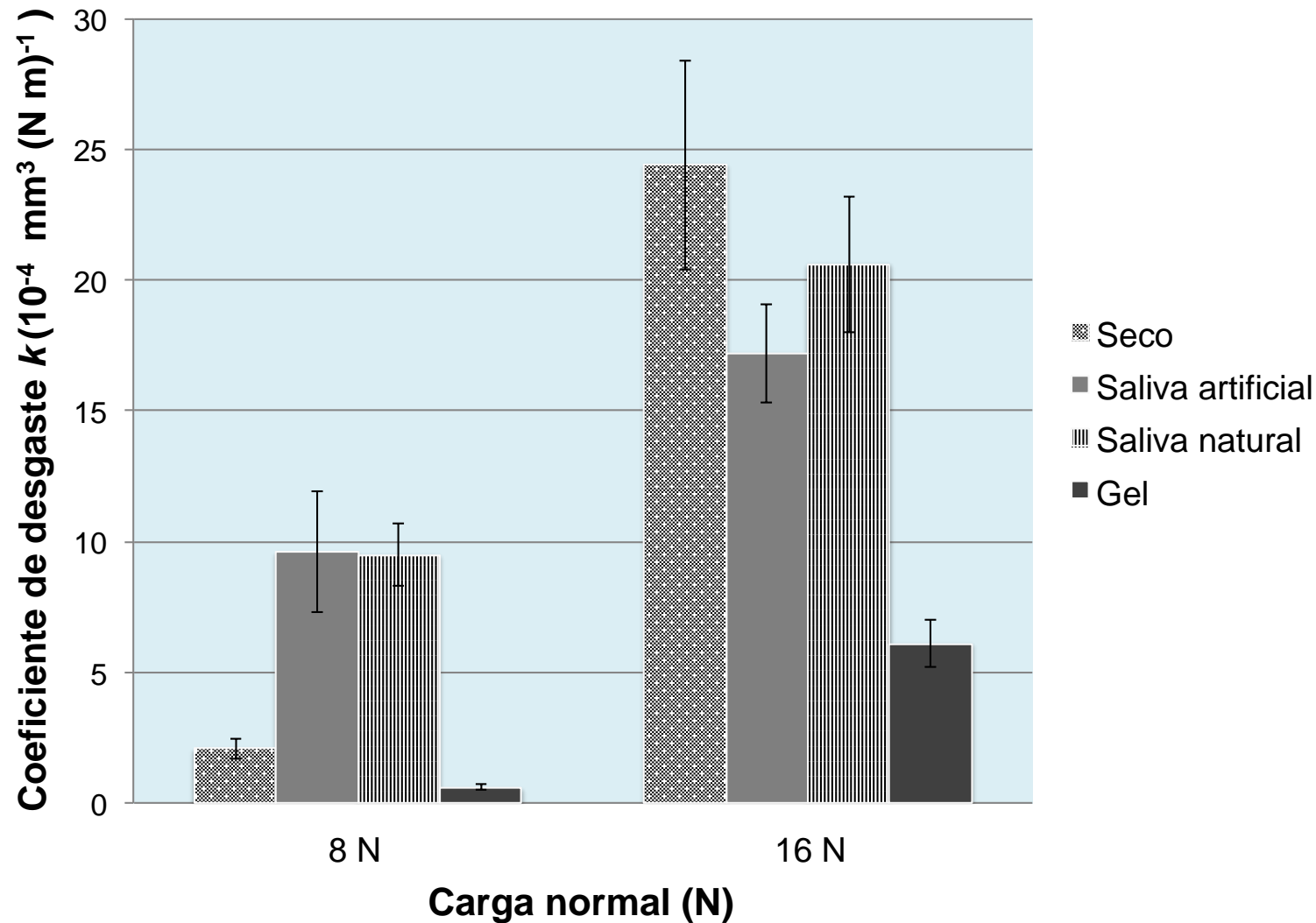
$K; k$



Carga Normal (N)	Lubrificação	Coeficiente de	Coeficiente de
		desgaste adimensional, K (10^{-5})	desgaste dimensional, k ($10^{-4} \text{ mm}^3 (\text{N m})^{-1}$)
8 N	Seco	0,4	2,1
	Saliva artificial	1,9	9,6
	Saliva natural	1,9	9,5
16 N	Gel	0,1	0,6
	Seco	4,9	24,4
	Saliva artificial	3,4	17,2
	Saliva natural	4,1	20,6
	Gel	1,2	6,1

RESULTADOS

Desgaste - k





RESULTADOS

Severidade - K



Relação entre as severidades do desgaste K

$K_{\text{linha}}/K_{\text{coluna}}$	8 N	8 N –	8 N –	8 N –	16 N –	16 N –	16 N –	16 N
	– gel	saliva artificial	saliva natural	seco	gel	saliva artificial	saliva natural	– seco
8 N – gel	-	0,05	0,05	0,25	0,08	0,03	0,02	0,02
8 N – saliva artificial	19	-	1	4,75	1,59	0,56	0,46	0,39
8 N – saliva natural	19	1	-	4,75	1,59	0,56	0,46	0,39
8 N – seco	4	0,21	0,21	-	0,34	0,12	0,09	0,08
16 N – gel	12	0,63	0,63	3	-	0,35	0,29	0,24
16 N – saliva artificial	34	1,79	1,79	8,5	4,08	-	0,83	0,69
16 N – saliva natural	41	2,16	2,16	10,25	3,42	1,21	-	0,83
16 N – seco	49	2,58	2,58	12,25	4,08	1,44	1,19	-

RESULTADOS

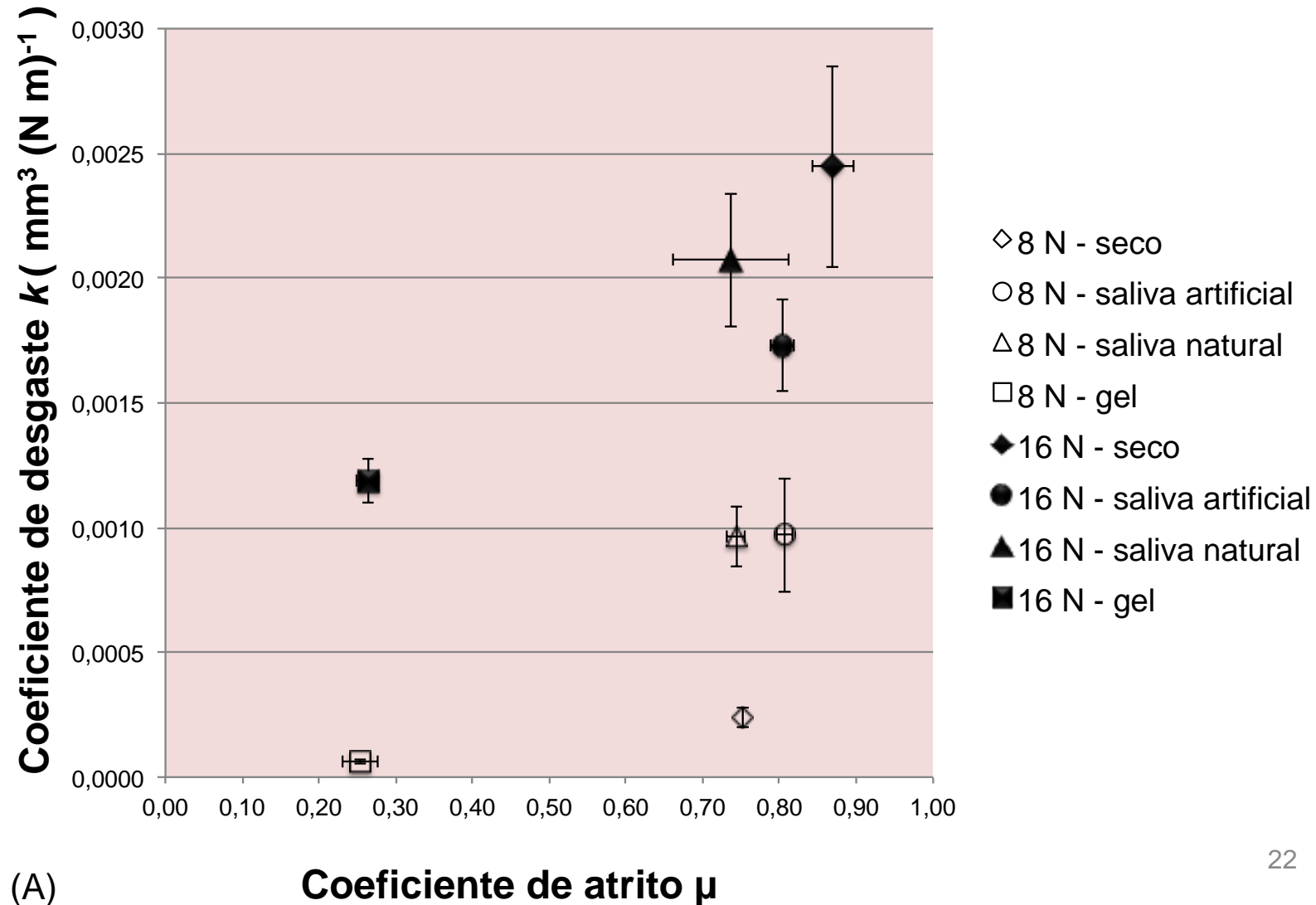
Atrito

μ - COEFICIENTE DE ATRITO

Lubrificação	Carga normal 8 N	Carga normal 16 N
Seco	$0,75 \pm 0,03^{\text{a}}$	$0,87 \pm 0,03^{\text{b}}$
Saliva artificial	$0,80 \pm 0,03^{\text{a,b}}$	$0,80 \pm 0,02^{\text{a,b}}$
Saliva natural	$0,74 \pm 0,01^{\text{a}}$	$0,73 \pm 0,06^{\text{a}}$
Gel	$0,25 \pm 0,05^{\text{c}}$	$0,26 \pm 0,02^{\text{c}}$

RESULTADOS

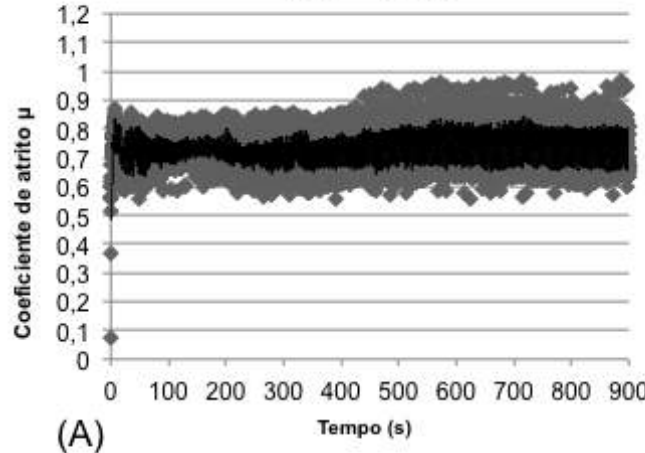
Atrito



RESULTADOS

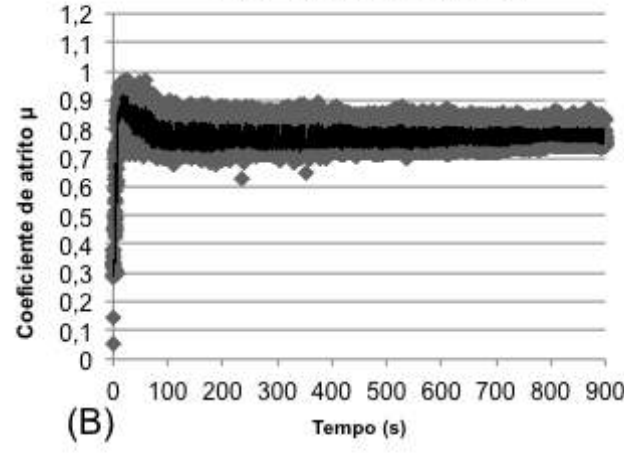
Atrito

8 N – seco



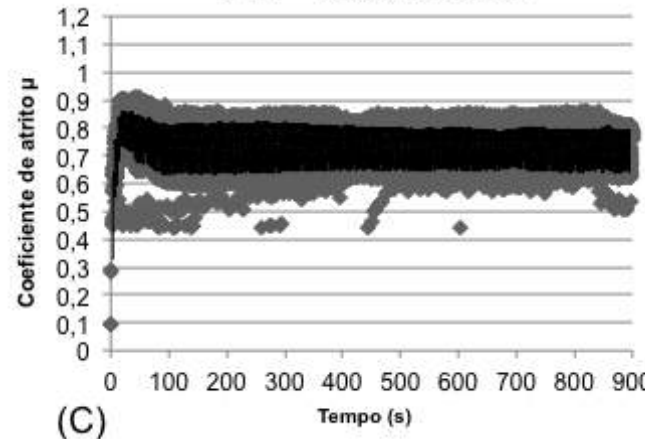
(A)

8 N - saliva artificial



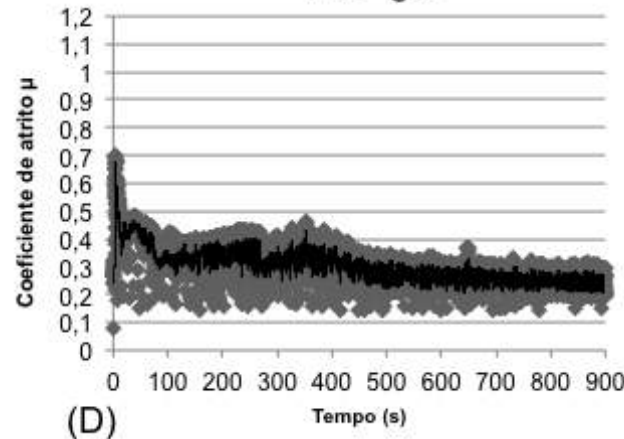
(B)

8 N – saliva natural



(C)

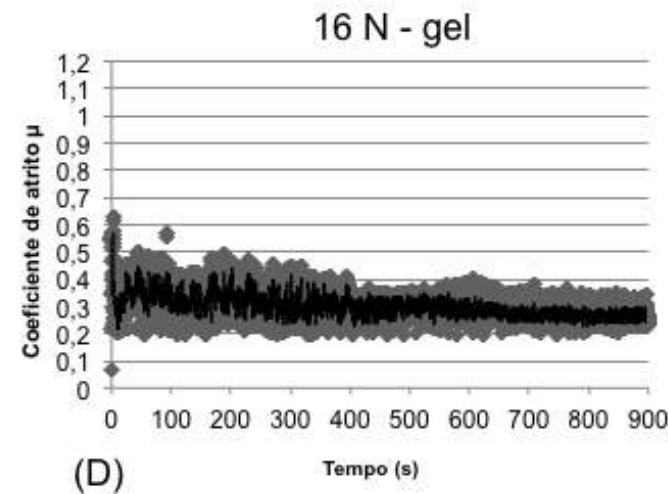
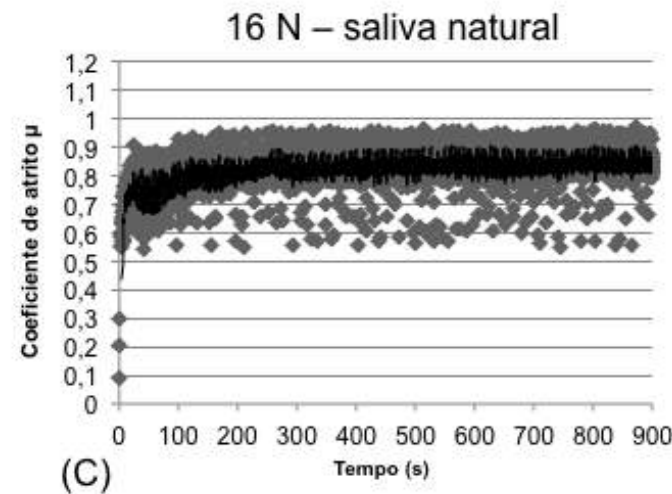
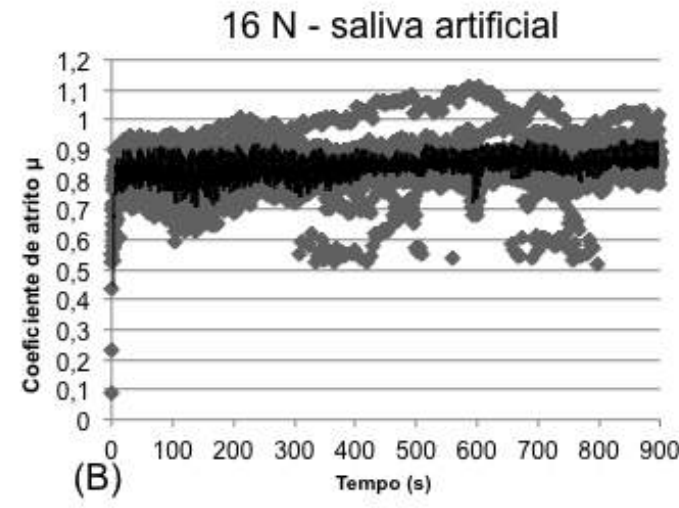
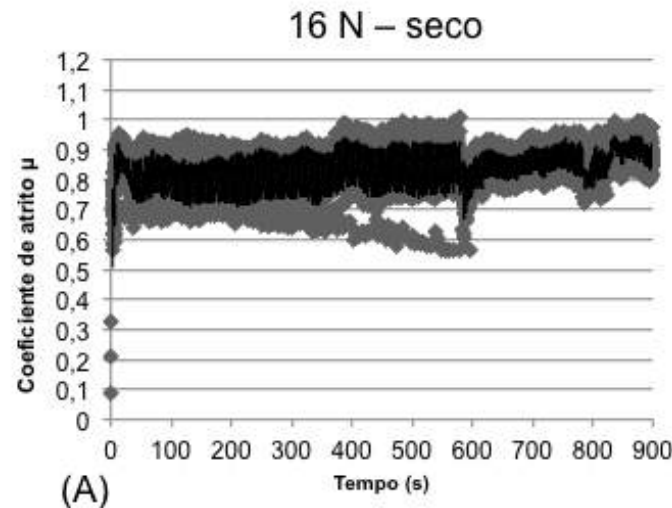
8 N - gel



(D)

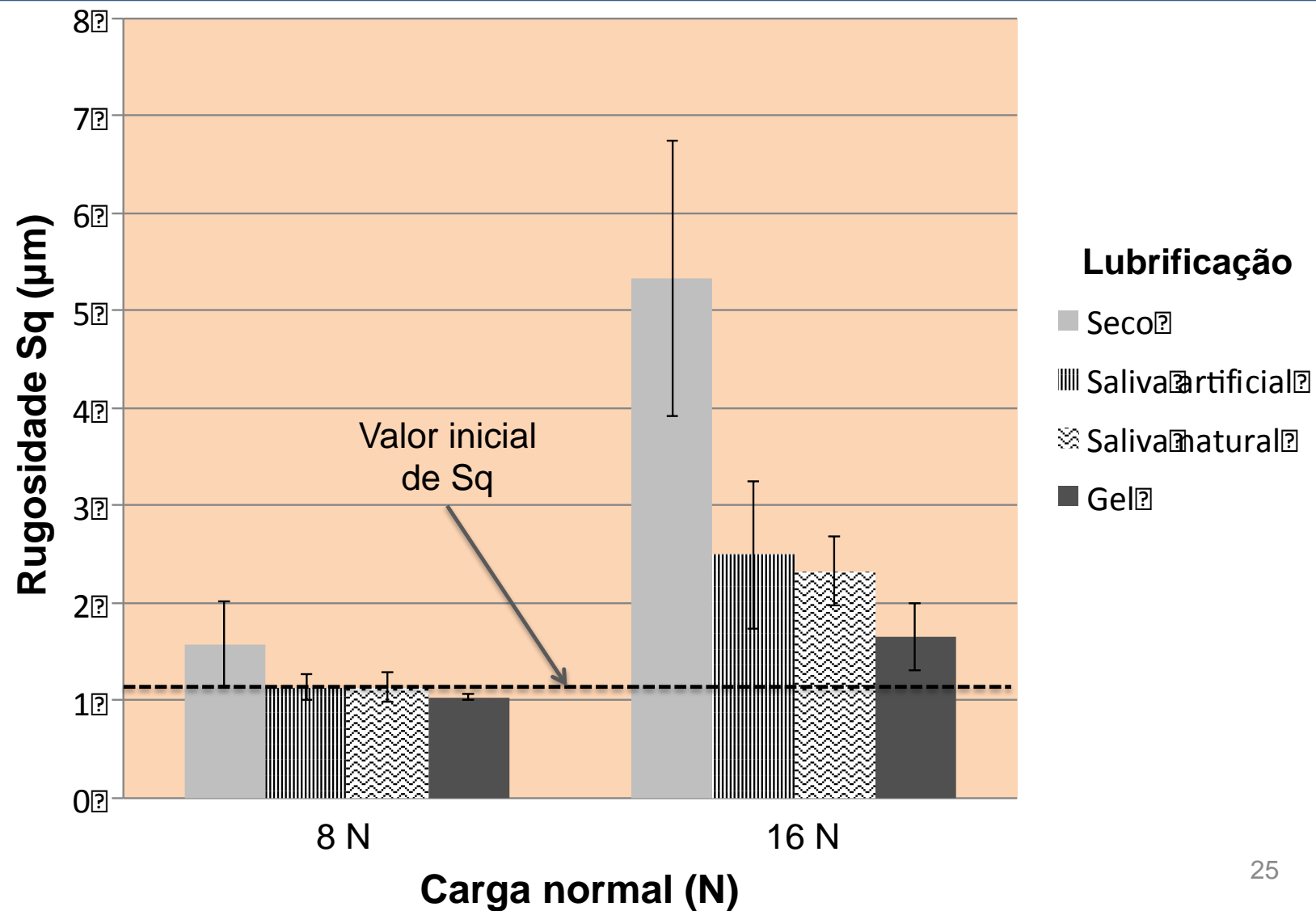
RESULTADOS

Atrito



RESULTADOS

Parâmetro Sq





RESULTADOS

Micromecanismos



Severidade do mecanismo de desgaste



Desplacamento

16 N – seco

Triboquímico e mecânico

16 N – saliva natural

16 N – saliva artificial

16 N – gel

8 N – saliva artificial e natural

Trincas interprismáticas

8 N – seco

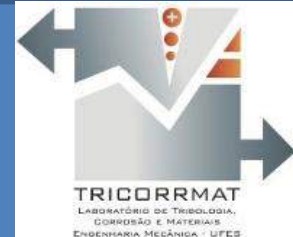
Desgaste da região interprismática

8 N – gel

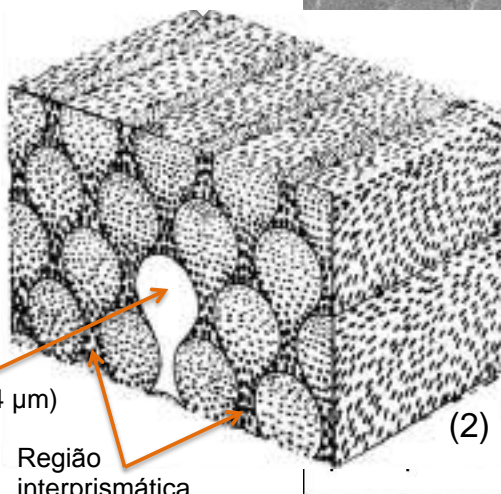
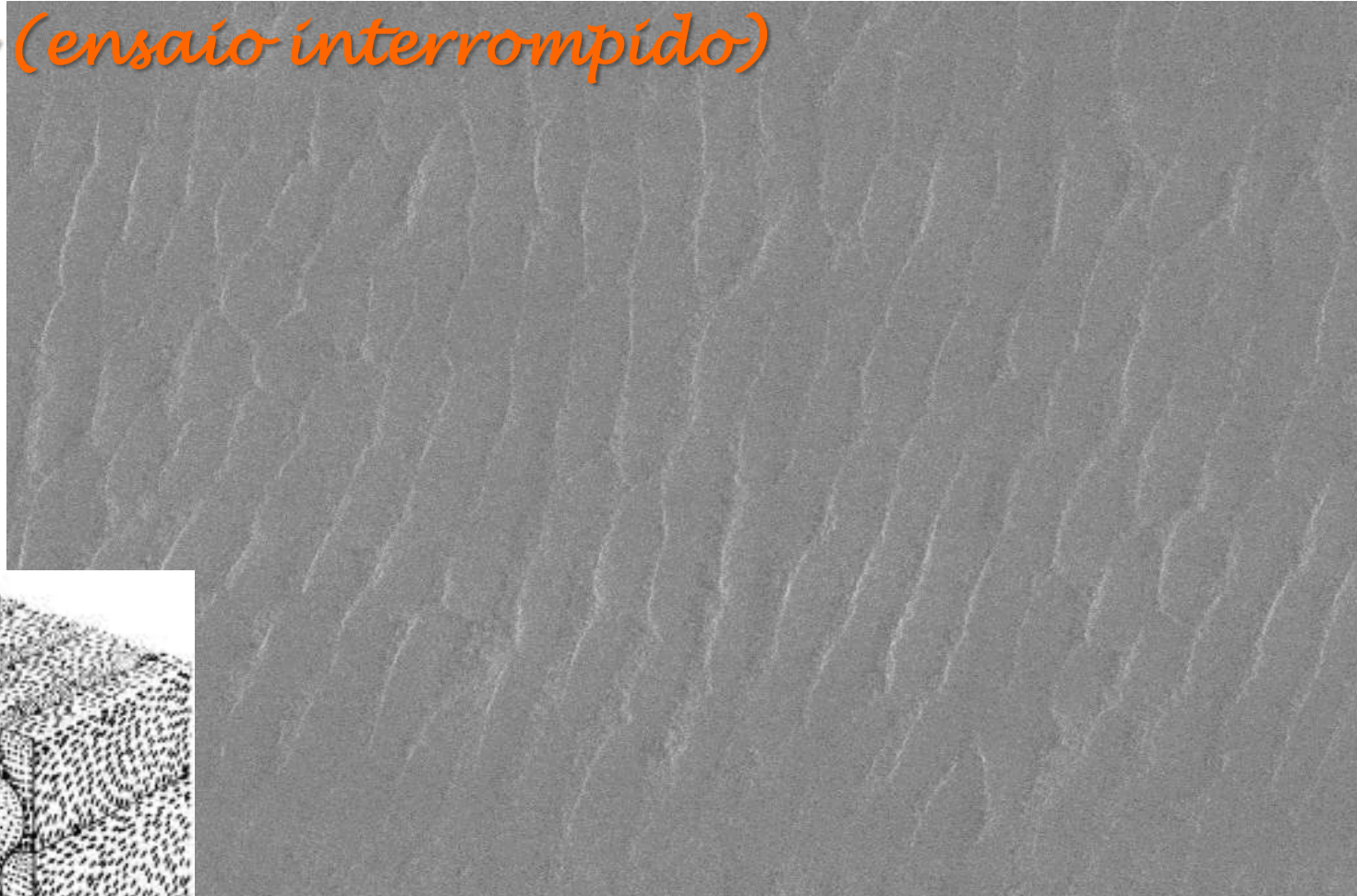


RESULTADOS

Micromecanismos



8 N - gel (ensaio interrompido)



EHT = 20.00 kV
WD = 9.0 mm

Signal A = SE1
Mag = 5.00 K X

Date :18 Oct 2013
UFES





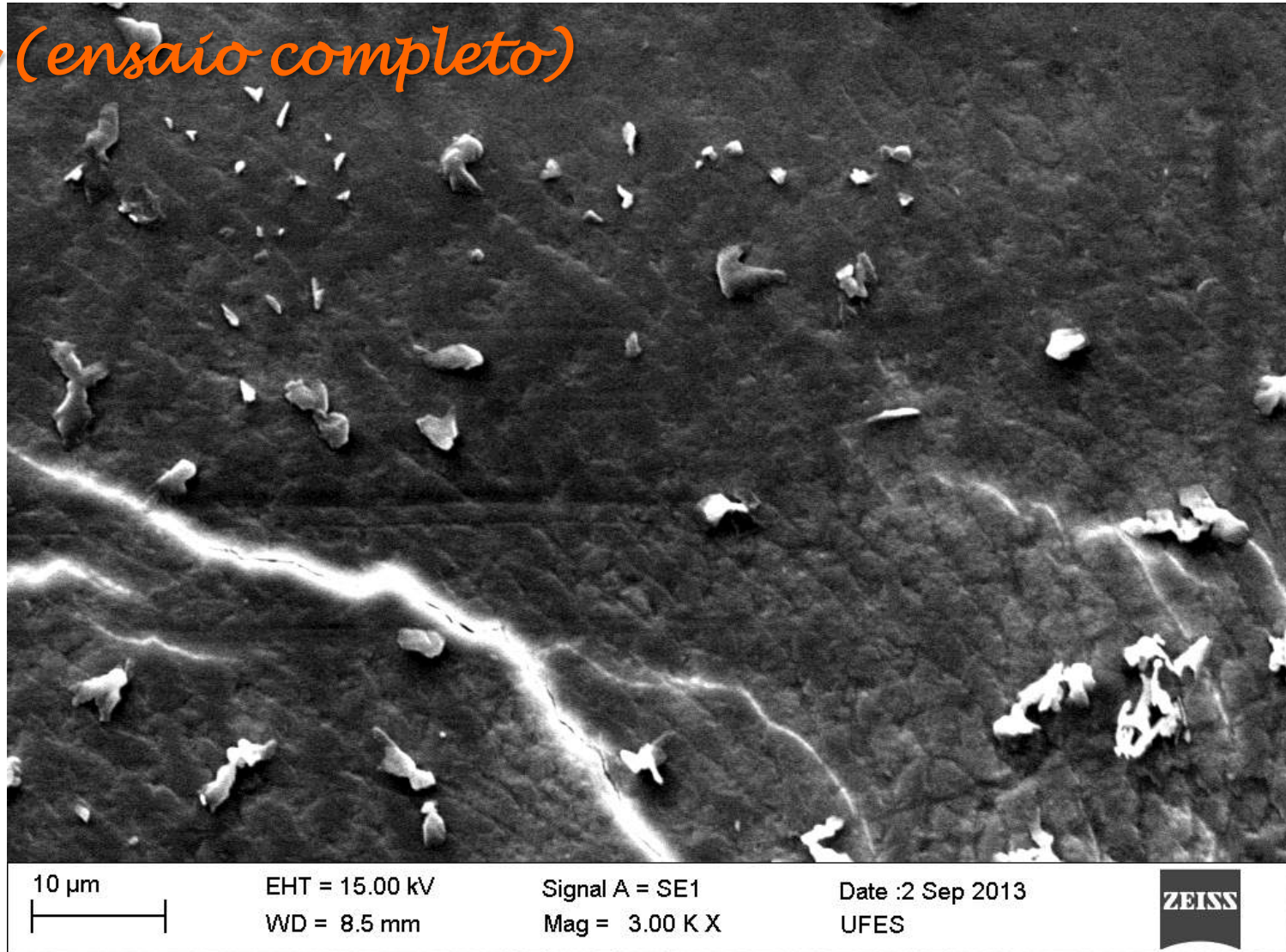
RESULTADOS

Micromecanismos



8 N - gel (ensaio completo)

$k = 0,6 \times 10^{-4}$
 $(\text{mm}^3(\text{N.m})^{-1})$
 $\mu = 0,25$
 $Sq = 1,04 \mu\text{m}$



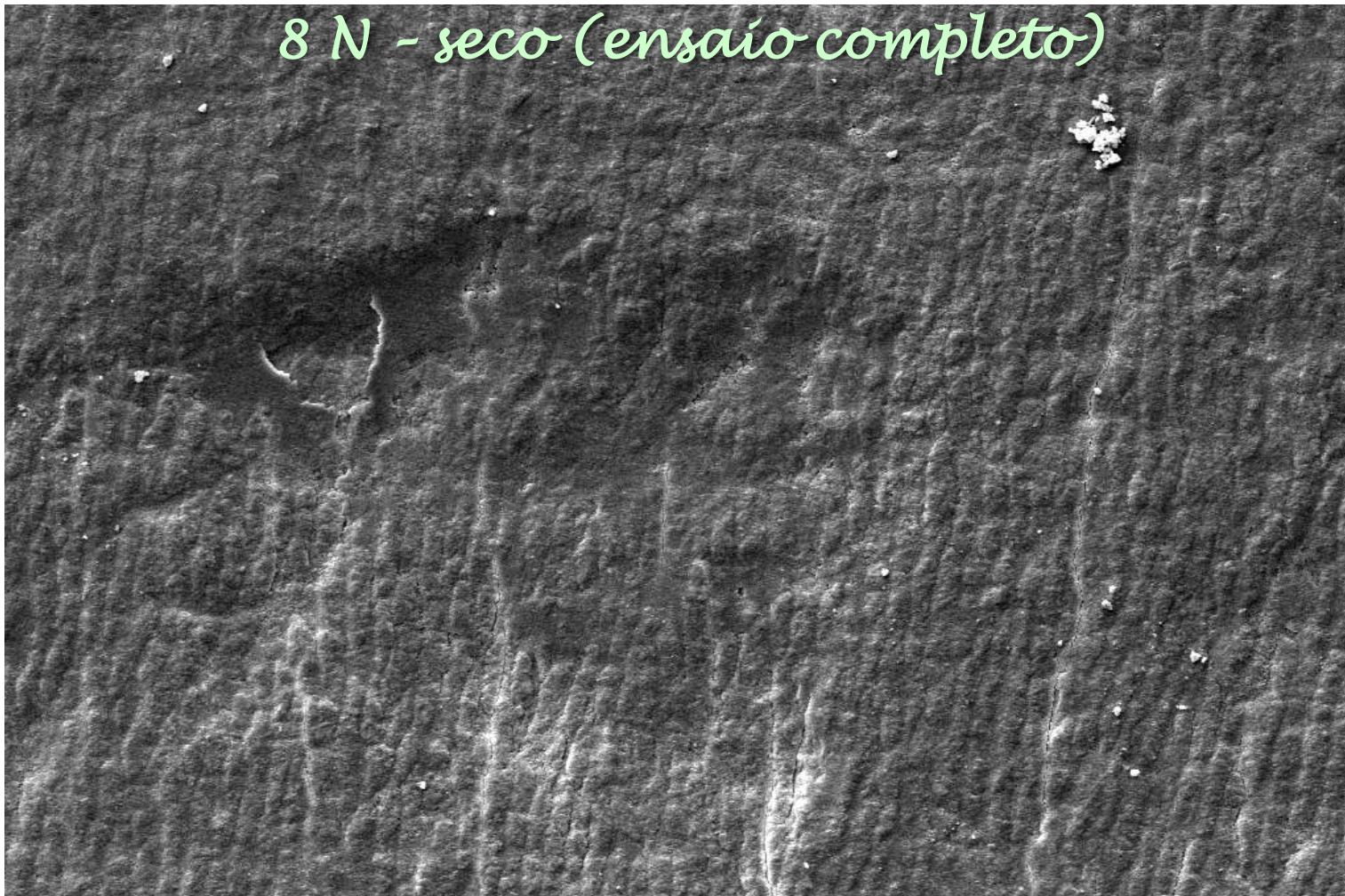


RESULTADOS

Micromecanismos



8 N - seco (*ensaio completo*)



20 µm



EHT = 10.00 kV

WD = 8.0 mm

Signal A = SE1

Mag = 2.00 K X

Date :29 Oct 2013

UFES



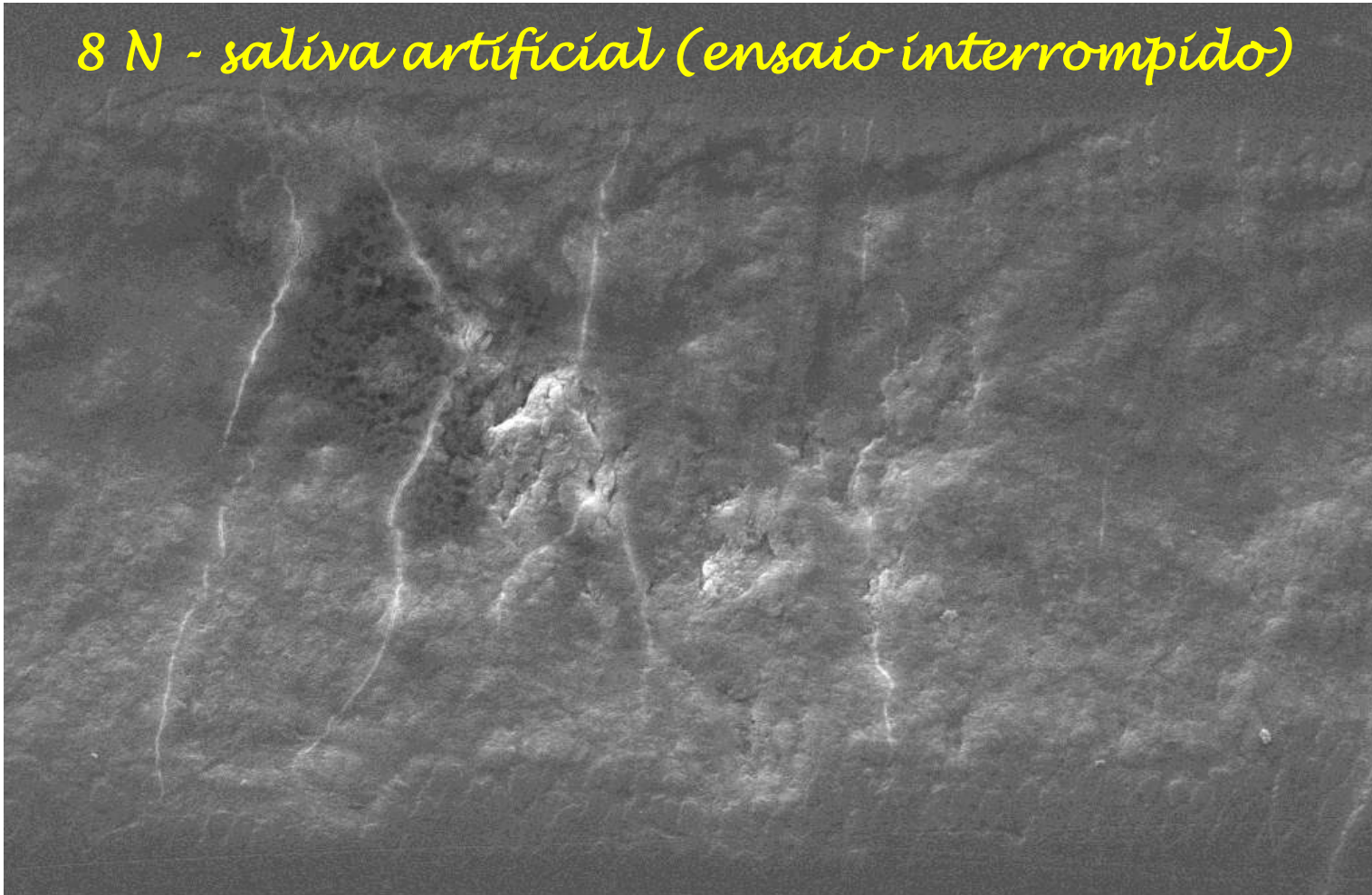


RESULTADOS

Micromecanismos



8 N - saliva artificial (ensaio interrompido)



10 µm

EHT = 20.00 kV
WD = 9.0 mm

Signal A = SE1
Mag = 2.00 K X

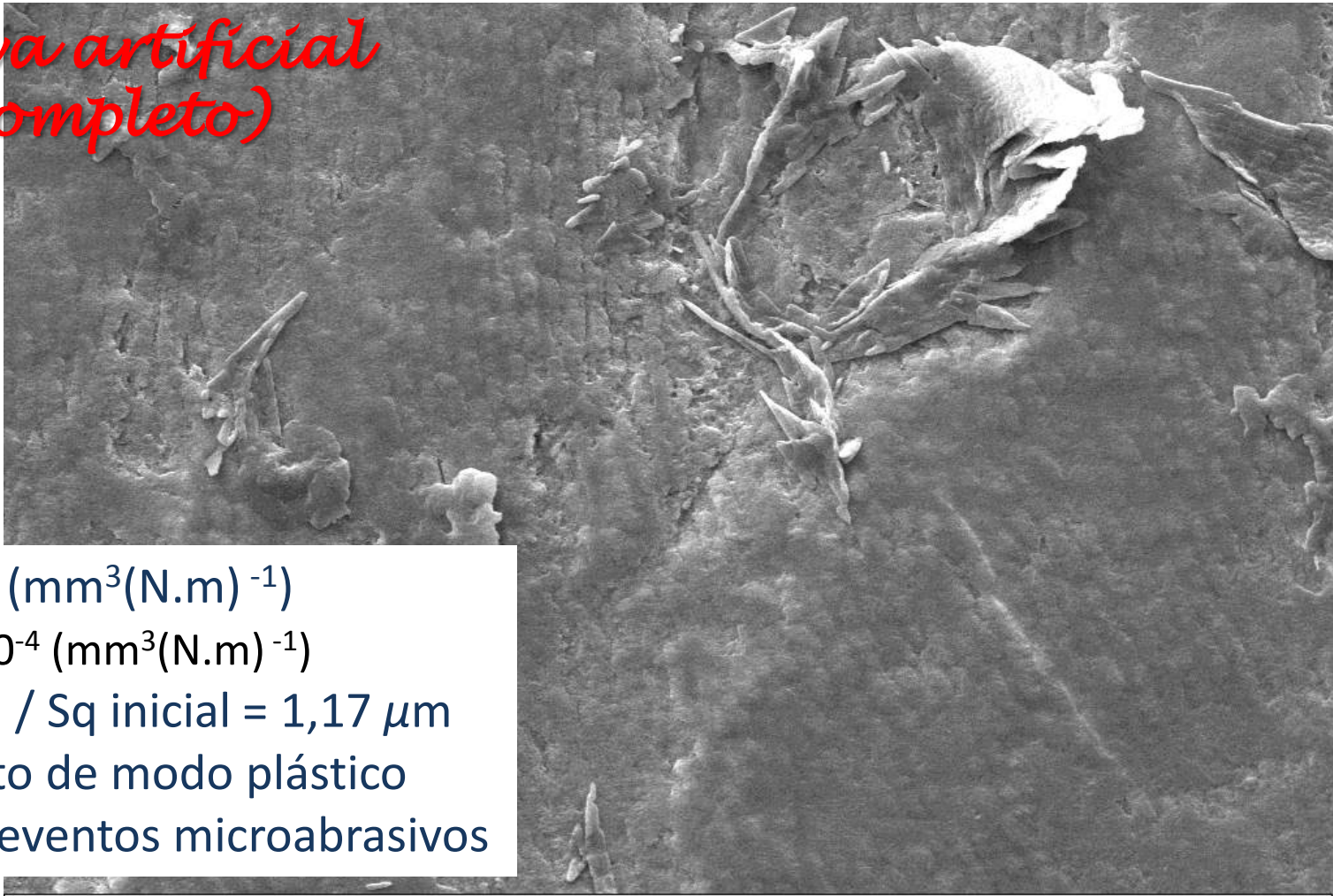
Date : 1 Oct 2013
UFES



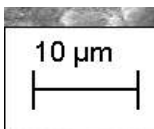
RESULTADOS

Micromecanismos

8 N - saliva artificial
(ensaio completo)



- $k = 9,6 \times 10^{-4} (\text{mm}^3(\text{N.m})^{-1})$
seco: $k = 2,1 \times 10^{-4} (\text{mm}^3(\text{N.m})^{-1})$
- $Sq = 1,14 \mu\text{m} / Sq \text{ inicial} = 1,17 \mu\text{m}$
- Destacamento de modo plástico
- Ausência de eventos microabrasivos

10 µm EHT = 15.00 kV
 WD = 9.0 mm

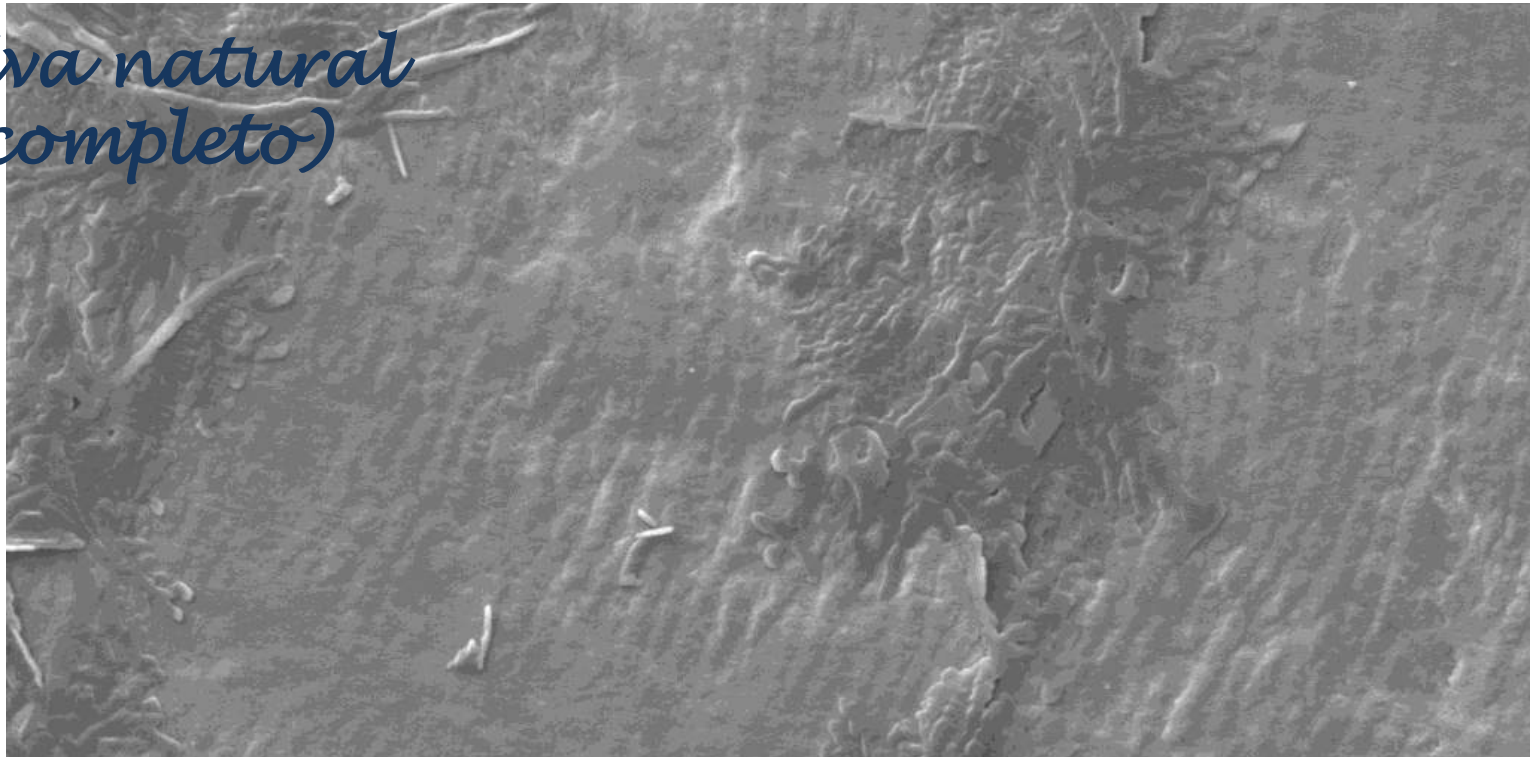
Signal A = SE1
Mag = 2.00 K X

Date :19 Sep 2013
UFES

RESULTADOS

Micromecanismos

8 N - saliva natural
(ensaio completo)



- $k = 9,5 \times 10^{-4} (\text{mm}^3(\text{N.m})^{-1})$
seco: $k = 2,1 \times 10^{-4} (\text{mm}^3(\text{N.m})^{-1})$
- $Sq = 1,14 \mu\text{m}$ / Sq inicial = $1,17 \mu\text{m}$
- Ausência de eventos microabrasivos





RESULTADOS



Efeitos químicos produziram superfícies
pouco rugosas e com aspecto brilhante
(Eisenburger; Addy, 2002)

Trilha de desgaste



100 µm

Macrografia obtida via microscopia estereoscópica óptica Zeiss®

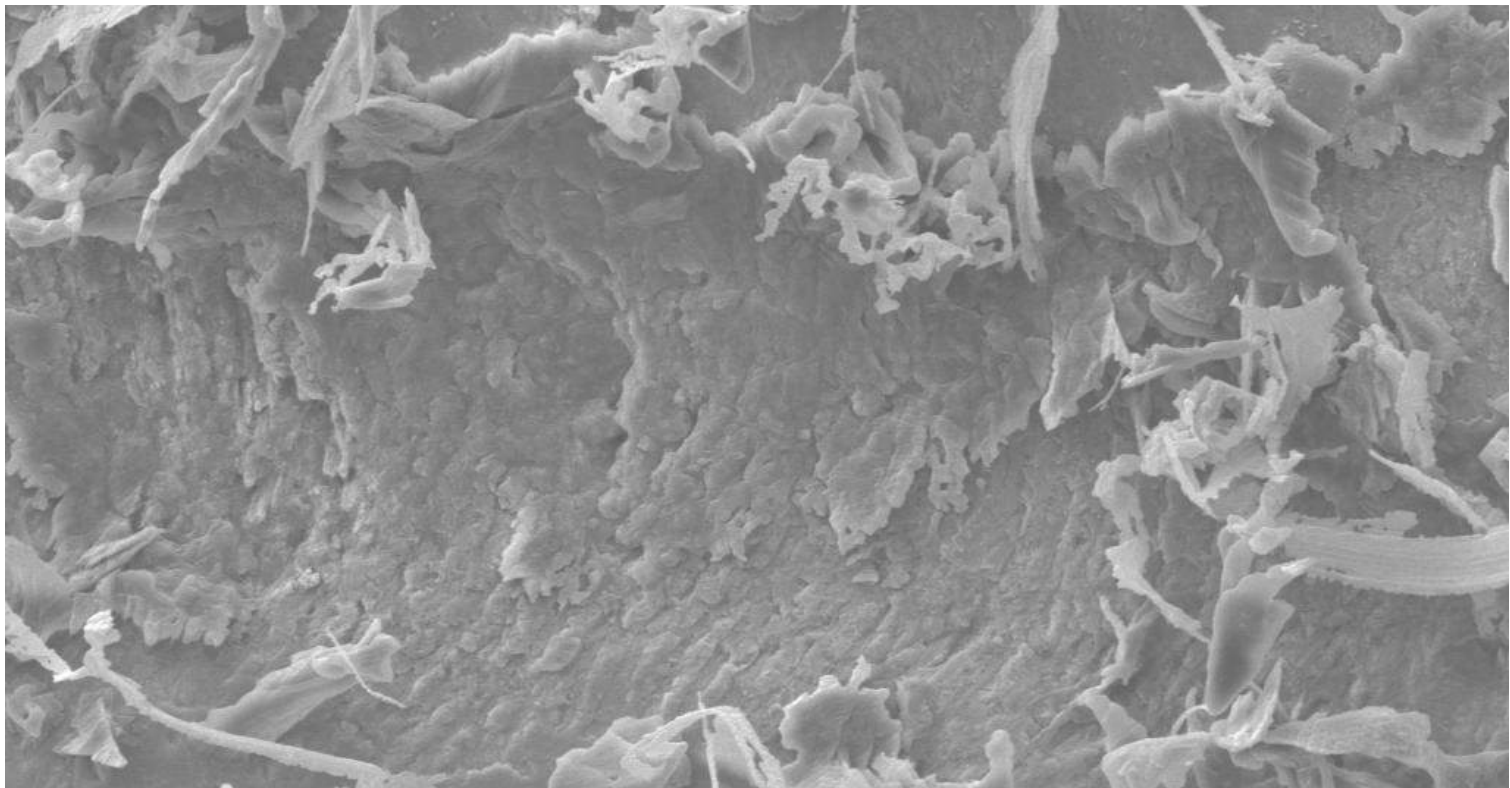


RESULTADOS

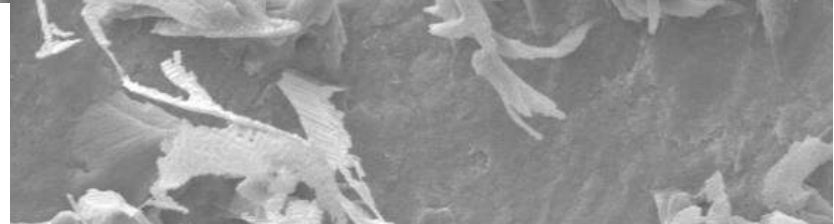
Micromecanismos



16 N - gel



- Ausência de trincas - eventos plásticos
- $k = 6,1 \times 10^{-4} (\text{mm}^3(\text{N.m})^{-1})$
- 8 N-saliva: $k = 9,6 \times 10^{-4} (\text{mm}^3(\text{N.m})^{-1})$
- $\mu = 0,26$



al A = SE1
= 2.00 K X

Date :4 Sep 2013
UFES



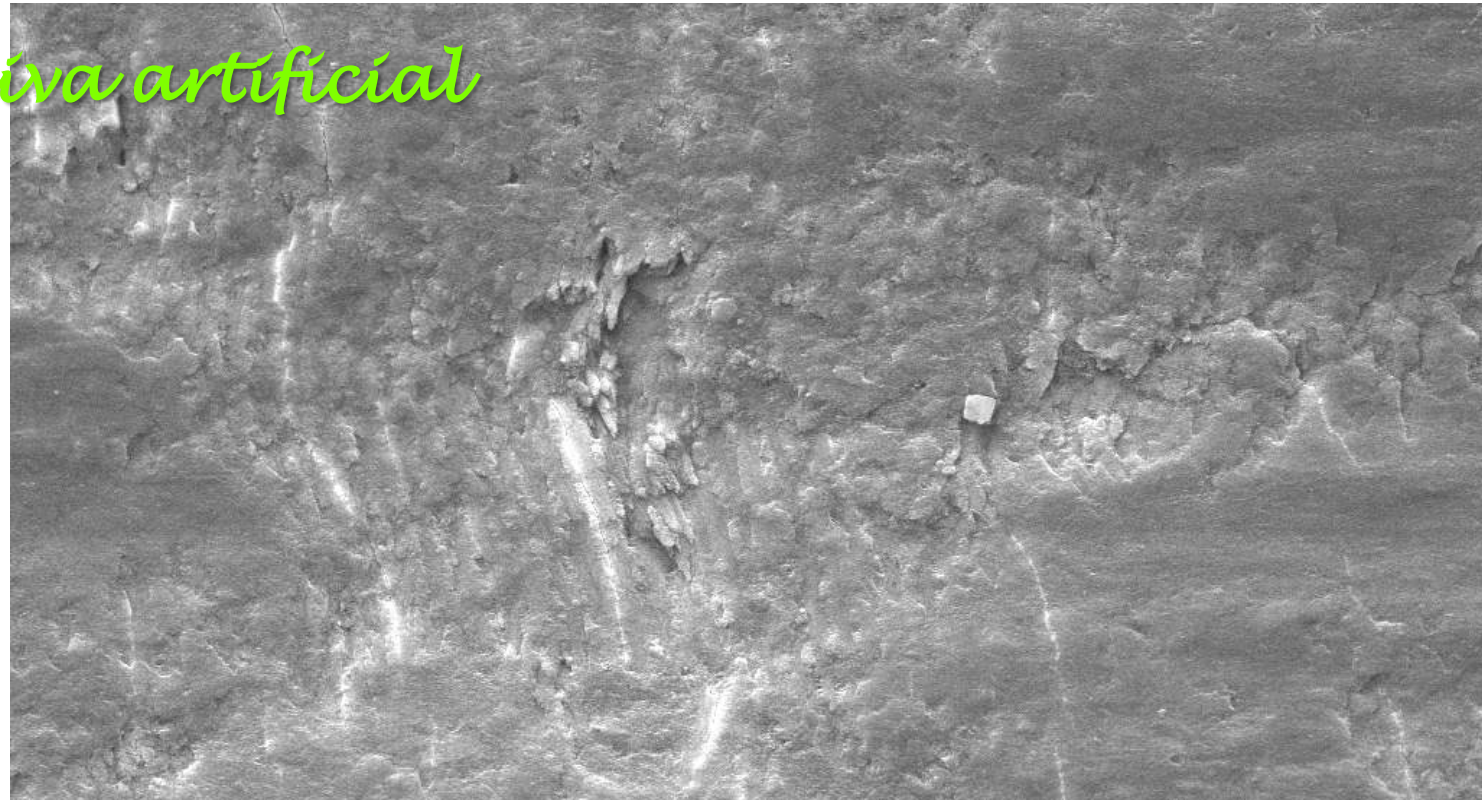


RESULTADOS

Micromecanismos



16 N - saliva artificial



Micromecanismo semelhante ao 8 N-saliva artificial - porém,
predomínio de mecanismos frágeis sobre os triboquímicos

Maior densidade de trincas; Severidade 80% maior

Rugosidade Sq duas vezes maior

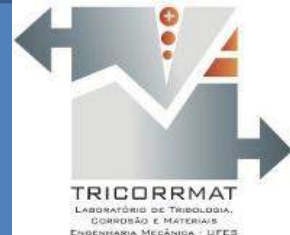
© 2013





RESULTADOS

Micromecanismos



16 N - saliva natural



Predomínio de mecanismos frágeis sobre os triboquímicos
Origem dos *debris* - similar ao 16 N-gel



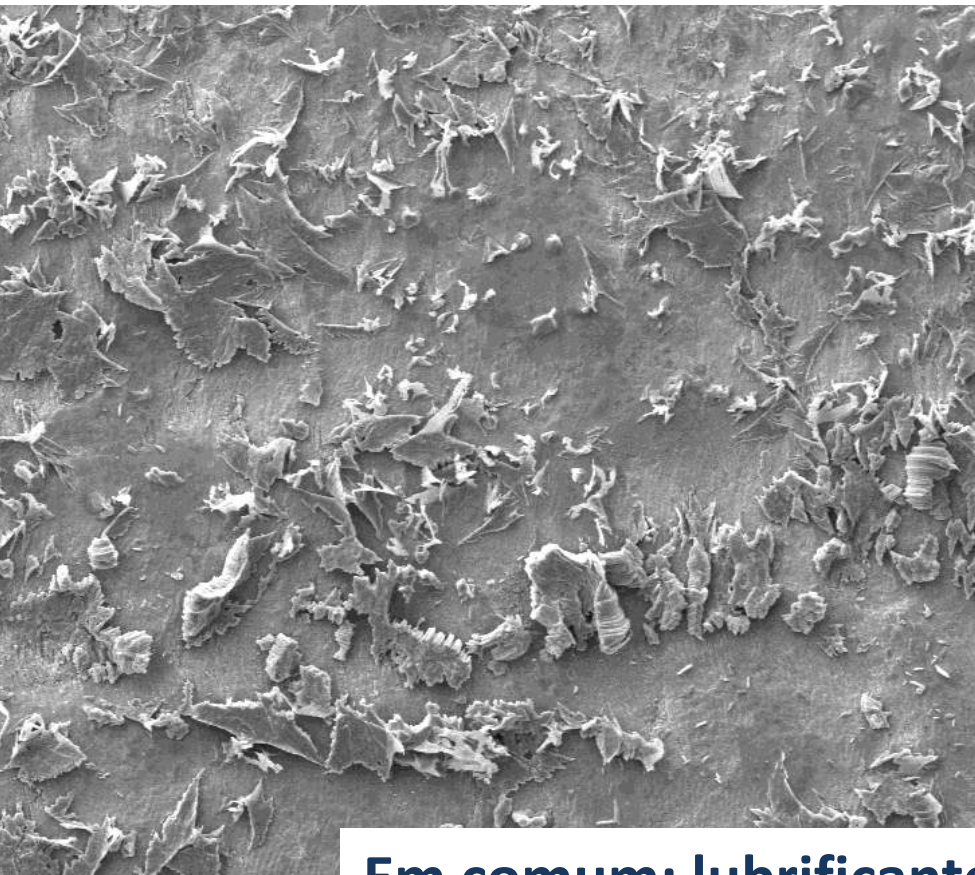


RESULTADOS

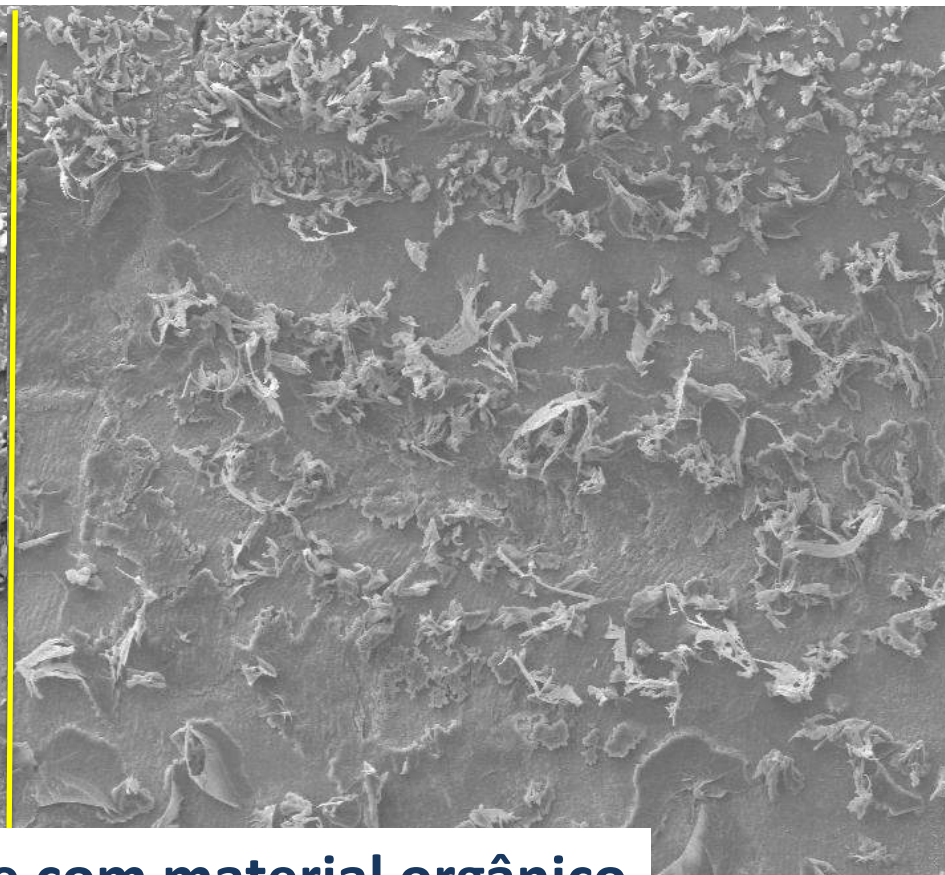
Micromecanismos



16 N - saliva natural



16 N - gel



Em comum: lubrificante com material orgânico
Distinção: μ ; rugosidade Sq e k

20 μ m
H

EHT =
WD =

A = SE1
500 X

Date
UFES

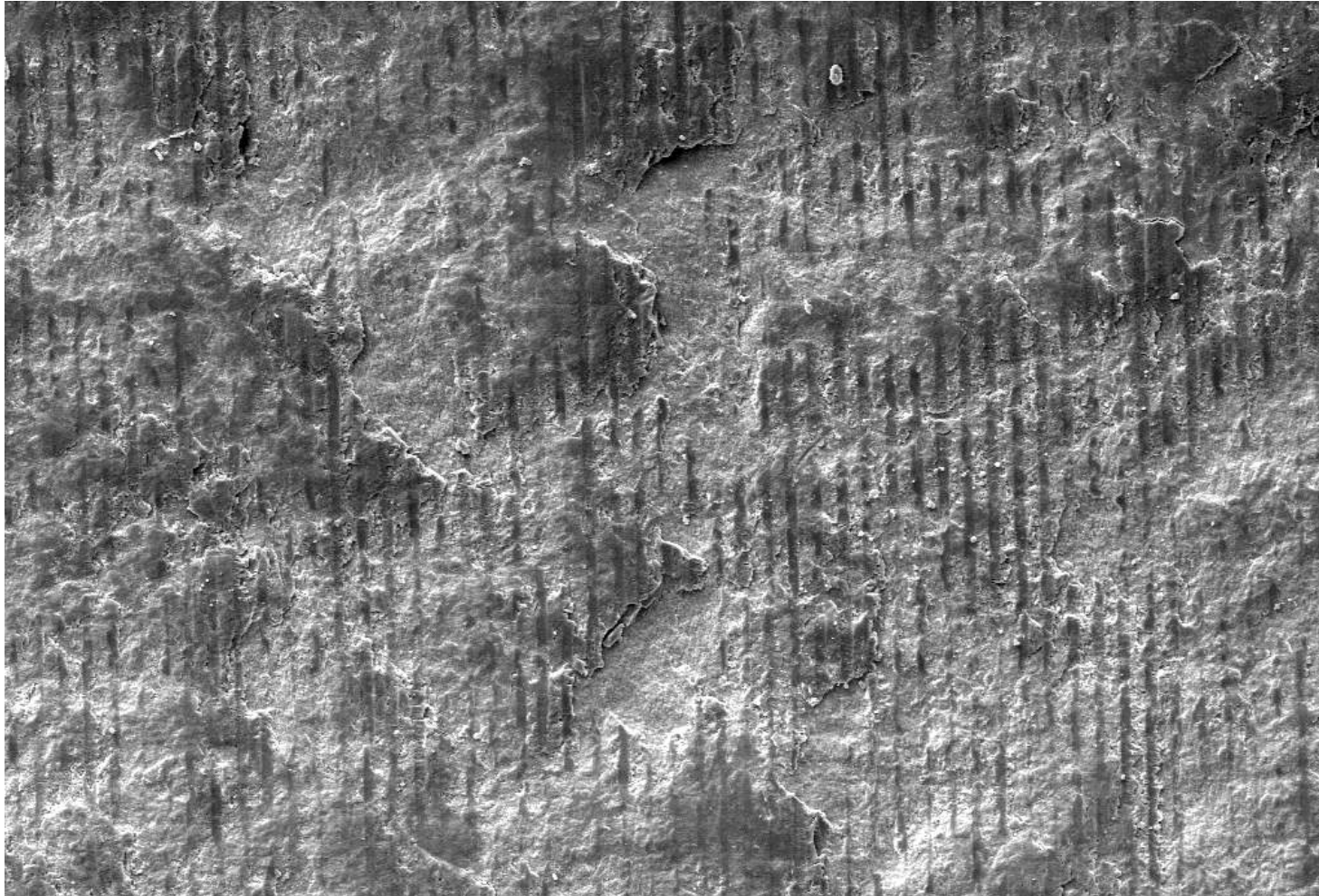


RESULTADOS

Micromecanismos



16 N - seco



20 µm
H

EHT = 10.00 kV
WD = 11.0 mm

Signal A = SE1
Mag = 500 X

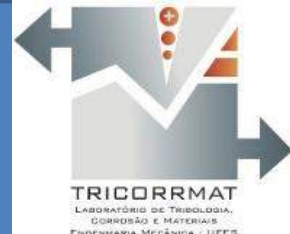
Date : 3 Sep 2013
UFES



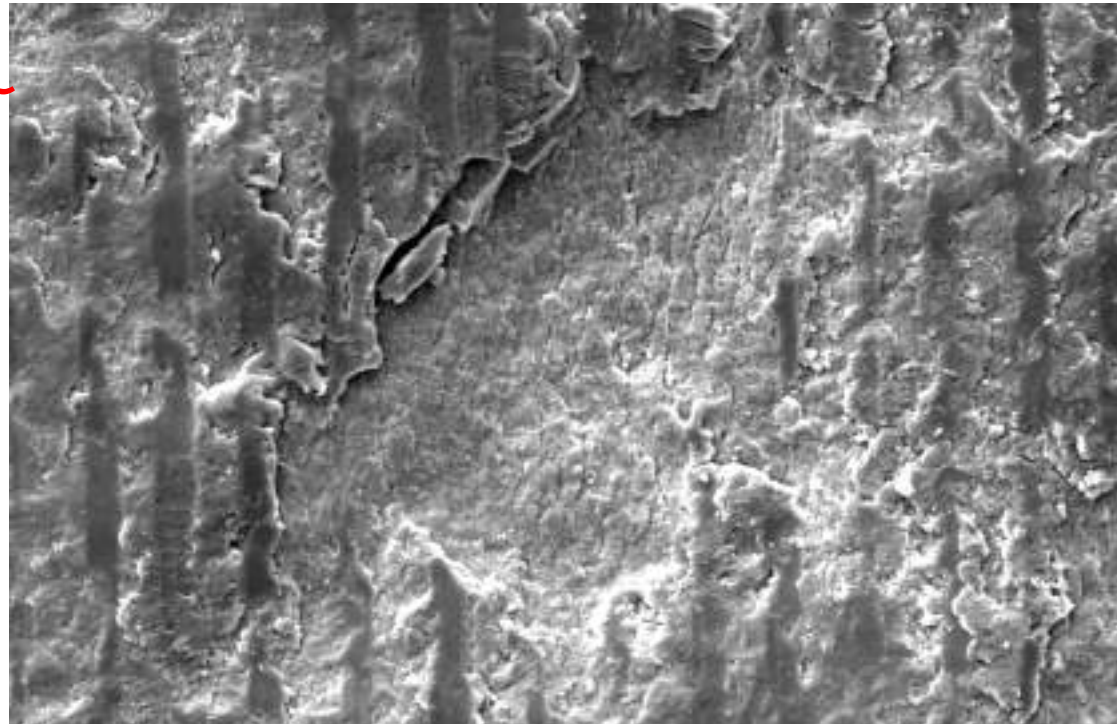


RESULTADOS

Micromecanismos

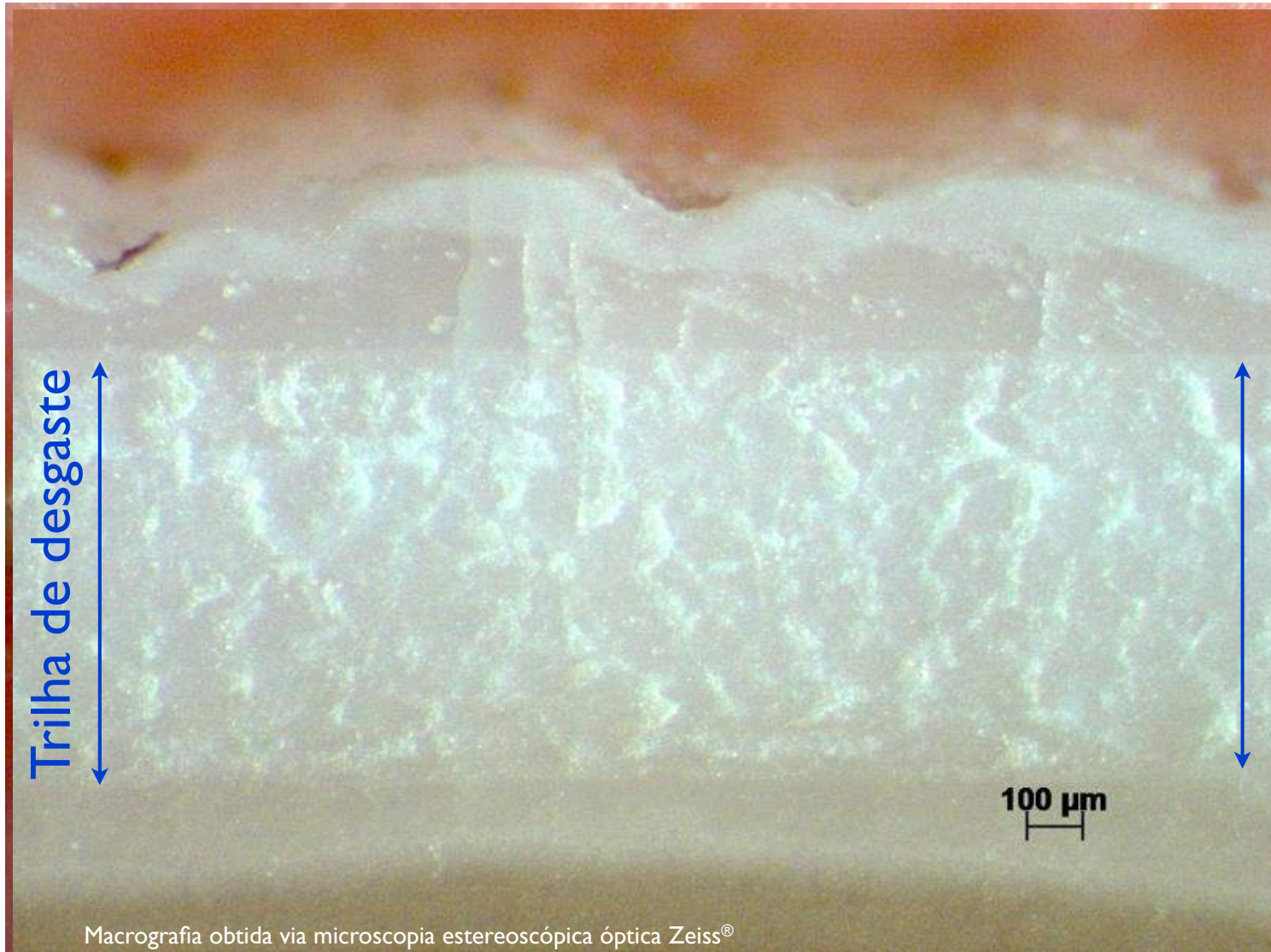


16 N - seco



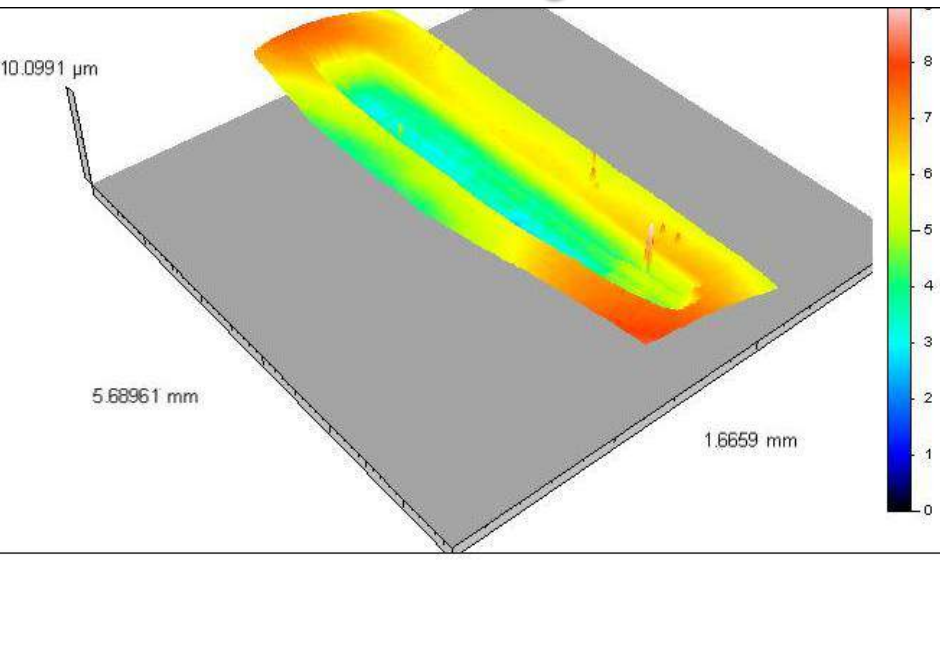
- Micromecanismo frágil - desplacamento (flake-like wear) (Adachi; Kato; Chen, 1997; Kato, 1990)
- Denominado de delaminação por outros autores (Zheng; Zhou, 2007; Arsecularatne; Hoffman, 2010)
- Desgaste mais severo
- Altos valores de K ($4,9 \times 10^{-5}$) de rugosidade Sq ($5,3 \mu\text{m}$) e de μ (0,87)

RESULTADOS

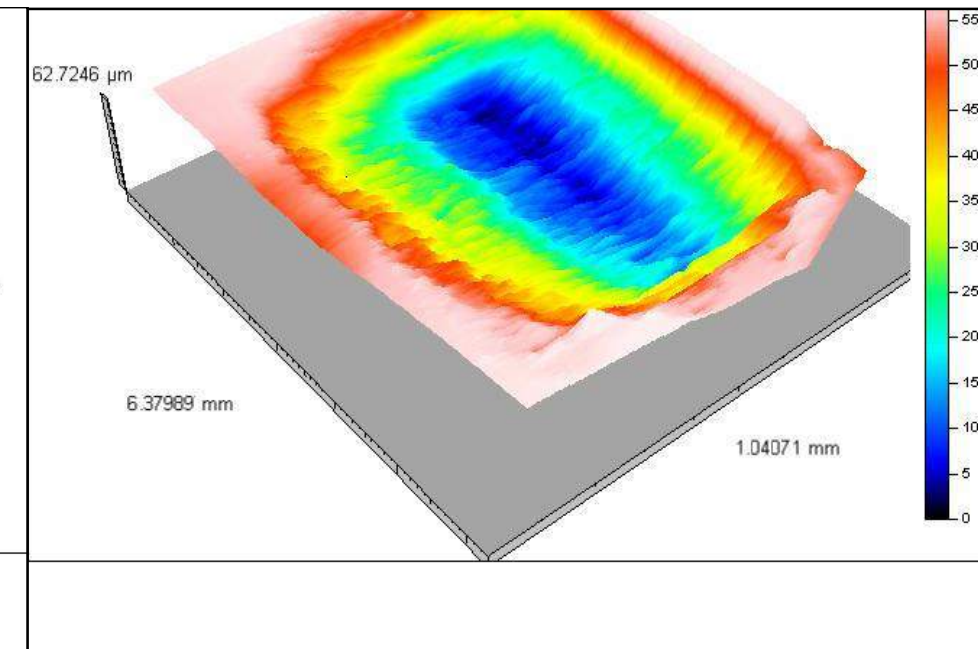


RESULTADOS

8 N - gel



16 N - seco





CONCLUSÕES



- o aumento da carga normal aplicada resultou em aumento do volume de desgaste para todos os subgrupos de lubrificação, mas não houve linearidade entre estas quantidades;
- a lubrificação com as salivas (natural e artificial) foi ineficaz para reduzir o desgaste, comparando-se ao grupo sem lubrificação;
- a lubrificação com o gel foi o método mais efetivo para reduzir o volume de esmalte desgastado. Sob baixa carga (8 N), o volume de desgaste foi 3 vezes menor que a condição seca e 14 vezes menor que a lubrificada com as salivas. Sob alta carga (16 N), o volume de desgaste foi 4 vezes inferior ao volume de desgaste da condição seca e 3 vezes menor que a lubrificada com a saliva natural;



CONCLUSÕES



- não se verificou a proporcionalidade entre o coeficiente de atrito e o de desgaste para todas as condições, mas **os coeficientes de atrito dos pares lubrificados com o gel foram os menores**;
- não houve linearidade entre o parâmetro de rugosidade S_q com o coeficiente de atrito e com o coeficiente de desgaste para todas as condições;
- os micromecanismos de desgaste foram, em ordem crescente de severidade: desgaste da região interprismática (8 N - gel); propagação de trincas interprismáticas (8 N - seco); reações triboquímicas associadas à ação mecânica (8 N - saliva natural e artificial; 16 N - gel; 16 N - saliva natural e artificial); desplacamento (16 N - seco).



ESTUDOS FUTUROS



- identificar micromecanismos de desgaste encontrados em dentes humanos em moldes/modelos e, assim, estabelecer um referencial para comparação;
- estudar as propriedades reológicas da saliva natural no contato deslizante e avaliar se a interação da saliva natural com os outros substitutos salivares influencia no desgaste;
- realizar ensaios de desgaste de esmalte imerso em salivas;
- realizar análise dos *debris* quanto à composição e estrutura; e
- utilizar o gel em estudos controlados *in vivo* para avaliar sua eficácia clínica na prevenção do desgaste.



REFERÊNCIAS



1. Katchburian E, Arana V. Esmalte. Histologia e embriologia oral. 3 ed. Rio de Janeiro: Guanabara Koogan; 2012. p. 171-204.
2. Ferraris MEG, Muñoz AC. Esmalte. Histologia e embriologia bucodental: bases estruturais da patologia, diagnóstico, tratamento e prevenção odontológica. 2 ed. Rio de Janeiro: Guanabara Koogan; 2006. p. 245-86.
3. An B, Wang R, Arola D, Zhang D. The role of property gradients on the mechanical behavior of human enamel. *J Mech Behav Biomed Mater.* 2012;9:63-72.
4. Kreulen CM, Van't Spijker A, Rodriguez JM, Bronkhorst EM, Creugers NH, Bartlett DW. Systematic review of the prevalence of tooth wear in children and adolescents. *Caries Res.* 2010;44(2):151-9.
5. Bartlett DW, Fares J, Shirodaria S, Chiu K, Ahmad N, Sherriff M. The association of tooth wear, diet and dietary habits in adults aged 18-30 years old. *J Dent.* 2011.
6. Carlsson GE, Johansson A, Lundqvist S. Occlusal wear. A follow-up study of 18 subjects with extensively worn dentitions. *Acta Odontol Scand.* 1985;43(2):83-90.
7. Hassan R, Caputo AA, Bunshah RF. Fracture toughness of human enamel. *J Dent Res.* 1981;60(4):820-7.
8. Jeng Y, Lin T, Hsu H, Chang H, Shieh D. Human enamel rod presents anisotropic nanotribological properties. *J Mech Behav Biomed Mater.* 2011;4(4):515-22.
9. Xu HH, Smith DT, Jahanmir S, Romberg E, Kelly JR, Thompson VP, et al. Indentation damage and mechanical properties of human enamel and dentin. *J Dent Res.* 1998;77(3):472-80.
10. He LH, Swain MV. Understanding the mechanical behaviour of human enamel from its structural and compositional characteristics. *J Mech Behav Biomed Mater.* 2008;1(1):18-29.
11. Grippo JO. Abfractions: a new classification of hard tissue lesions of teeth. *J Esthet Dent.* 1991;3(1):14-9.
12. Grippo JO, Simring M, Coleman TA. Abfraction, abrasion, biocorrosion, and the enigma of noncarious cervical lesions: a 20-year perspective. *J Esthet Restor Dent.* 2012;24(1):10-23.
13. Grippo JO, Simring M, Schreiner S. Attrition, abrasion, corrosion and abfraction revisited: a new perspective on tooth surface lesions. *J Am Dent Assoc.* 2004;135(8):1109-18; quiz 63-5.
14. Hattab FN, Yassin OM. Etiology and diagnosis of tooth wear: a literature review and presentation of selected cases. *Int J Prosthodont.* 2000;13(2):101-7.
15. Regalo SC, Santos CM, Vitti M, Regalo CA, de Vasconcelos PB, Mestriner W, Jr., et al. Evaluation of molar and incisor bite force in indigenous compared with white population in Brazil. *Arch Oral Biol.* 2008;53(3):282-6.



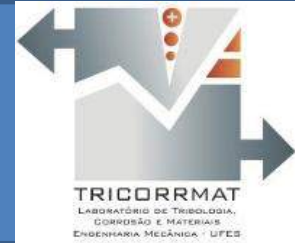
REFERÊNCIAS



16. Kato T, Yamaguchi T, Okura K, Abe S, Lavigne GJ. Sleep less and bite more: sleep disorders associated with occlusal loads during sleep. *J Prosthodont Res.* 2013;57(2):69-81.
17. Lavigne GJ, Rompre PH, Poirier G, Huard H, Kato T, Montplaisir JY. Rhythmic masticatory muscle activity during sleep in humans. *J Dent Res.* 2001;80(2):443-8.
18. Carra MC, Huynh N, Lavigne G. Sleep bruxism: a comprehensive overview for the dental clinician interested in sleep medicine. *Dent Clin North Am.* 2012;56(2):387-413.
19. Hutchings IM. Tribology: friction and wear of engineering materials. 5 ed. London: Arnold; 1999. 273 p.
20. Adachi K, Kato K, Chen N. Wear map of ceramics. *Wear.* 1997;203-204:291-301.
21. Kato K. Tribology of ceramics. *Wear.* 1990;136(1):117-33.
22. Kato K, Adachi K. Wear of advanced ceramics. *Wear.* 2002;253(11-12):1097-104.
23. Fischer TE, Anderson MP, Jahanmir S. Influence of fracture toughness on the wear resistance of yttria-doped zirconium oxide. *J Am Ceram Soc.* 1989;72(2):252-7.
24. Fischer TE, Zhu Z, Kim H, Shin DS. Genesis and role of wear debris in sliding wear of ceramics. *Wear.* 2000;245(1-2):53-60.
25. Desa O, Bahadur S. The effect of lubricants in single point scratching and abrasive machining of alumina and silicon nitride. *Wear.* 2001;251(1-12):1085-93.
26. Zhang YF, Zheng J, Zheng L, Zhou ZR. Effect of adsorption time on the adhesion strength between salivary pellicle and human tooth enamel. *J Mech Behav Biomed Mater.* 2015;42:257-66.
27. Sajewicz E. Effect of saliva viscosity on tribological behaviour of tooth enamel. *Tribo Int.* 2009;42(2):327-32.
28. Dawes C. Salivary flow patterns and the health of hard and soft oral tissues. *J Am Dent Assoc.* 2008;139 Suppl:18S-24S.
29. Dugmore CR, Rock WP. The prevalence of tooth erosion in 12-year-old children. *Br Dent J.* 2004;196(5):279-82; discussion 73.
30. Fares J, Shirodaria S, Chiu K, Ahmad N, Sherriff M, Bartlett D. A new index of tooth wear. Reproducibility and application to a sample of 18- to 30-year-old university students. *Caries Res.* 2009;43(2):119-25.
31. Van't Spijker A, Rodriguez JM, Kreulen CM, Bronkhorst EM, Bartlett DW, Creugers NH. Prevalence of tooth wear in adults. *Int J Prosthodont.* 2009;22(1):35-42.
32. Van 't Spijker A, Kreulen CM, Creugers NH. Attrition, occlusion, (dys)function, and intervention: a systematic review. *Clin Oral Implants Res.* 2007;18 Suppl 3:117-26.
33. Zum Gahr K-H. Microstructure and wear of materials. *Tribology series* 10 ed. Amsterdam: Elsevier Science Publishers B.V.; 1987.



REFERÊNCIAS



34. Kohyama K, Hatakeyama E, Sasaki T, Dan H, Azuma T, Karita K. Effects of sample hardness on human chewing force: a model study using silicone rubber. *Arch Oral Biol.* 2004;49(10):805-16.
35. Blau P. Embedding Wear Models into Friction Models. *Tribol Lett.* 2009;34(1):75-9.
36. Blau P. The significance and use of the friction coefficient. *Tribo Int.* 2001;34(9):585-91.
37. ASTM. American Standard for Testing Materials. G40-01 - Standard Terminology Relating to Wear and Erosion. Annual Book of Standards. Philadelphia2001.
38. Bushan B. Modern tribology handbook: principles of tribology. Boca Raton: CRC Press LLC; 2001.
39. ASM. American Society for Metals Handbook: Friction, Lubrication and wear technology: ASM International; 1992.
40. Gant AJ, Gee MG. A review of micro-scale abrasion testing. *J Phys D: Appl Phys.* 2011;44(7):073001 (15pp).
41. Bhatka R, Throckmorton GS, Wintergerst AM, Hutchins B, Buschang PH. Bolus size and unilateral chewing cycle kinematics. *Arch Oral Biol.* 2004;49(7):559-66.
42. Zhang YF, Zheng J, Zheng L, Shi XY, Qian LM, Zhou ZR. Effect of adsorption time on the lubricating properties of the salivary pellicle on human tooth enamel. *Wear.* 2013;301(1-2):300-7.
43. Warde P, Kroll B, O'Sullivan B, Aslanidis J, Tew-George E, Waldron J, et al. A phase II study of Biotene in the treatment of postradiation xerostomia in patients with head and neck cancer. *Support Care Cancer.* 2000;8(3):203-8.
44. Meyer-Lueckel H, Schulte-Monting J, Kielbassa AM. The effect of commercially available saliva substitutes on predemineralized bovine dentin in vitro. *Oral Dis.* 2002;8(4):192-98.
45. Tantbirojn D, Huang A, Ericson MD, Poolthong S. Change in surface hardness of enamel by a cola drink and a CPP-ACP paste. *J Dent.* 2008;36(1):74-9.
46. Eisenburger M, Addy M. Erosion and attrition of human enamel in vitro part II: influence of time and loading. *J Dent.* 2002;30(7-8):349-52.
47. Eisenburger M, Addy M. Erosion and attrition of human enamel in vitro part I: interaction effects. *J Dent.* 2002;30(7-8):341-7.
48. Kaidonis JA, Richards LC, Townsend GC, Tansley GD. Wear of human enamel: a quantitative in vitro assessment. *J Dent Res.* 1998;77(12):1983-90.
49. Sanches RP, Otani C, Damiao AJ, Miyakawa W. AFM characterization of bovine enamel and dentine after acid-etching. *Micron.* 2009;40(4):502-6.
50. Guidoni G, Swain M, Jager I. Enamel: From brittle to ductile like tribological response. *J Dent.* 2008;36(10):786-94.
51. Arsecularatne JA, Hoffman M. On the wear mechanism of human dental enamel. *J Mech Behav Biomed Mater.* 2010;3(4):347-56.



REFERÊNCIAS



52. Xie ZH, Swain MV, Swadener G, Munroe P, Hoffman M. Effect of microstructure upon elastic behaviour of human tooth enamel. *J Biomech.* 2009;42(8):1075-80.
53. Hayashi-Sakai S, Sakai J, Sakamoto M, Endo H. Determination of fracture toughness of human permanent and primary enamel using an indentation microfracture method. *J Mater Sci Mater Med.* 2012;23(9):2047-54.
54. He LH, Yin ZH, van Vuuren LJ, Carter EA, Liang XW. A natural functionally graded biocomposite coating--human enamel. *Acta Biomater.* 2013;9(5):6330-7.
55. He LH, Swain MV. Enamel--a functionally graded natural coating. *J Dent.* 2009;37(8):596-603.
56. Zheng J, Zhou ZR, Zhang J, Li H, Yu HY. On the friction and wear behaviour of human tooth enamel and dentin. *Wear.* 2003;255(7-12):967-74.
57. Sakar-Deliormanli A, Guden M. Microhardness and fracture toughness of dental materials by indentation method. *J Biomed Mater Res B Appl Biomater.* 2006;76(2):257-64.
58. Arsecularatne JA, Hoffman M. Ceramic-like wear behaviour of human dental enamel. *J Mech Behav Biomed Mater.* 2012;8:47-57.
59. Evans AG, Marshall DB. Wear mechanism in ceramics, fundamentals of friction and wear of materials. *ASM.* 1980:439-52.
60. Lawn B. Fracture of brittle solids. 2 ed. Cambridge: Cambridge University Press; 1993. 378 p.
61. Guidoni GM, Swain MV, Jager I. Wear behaviour of dental enamel at the nanoscale with a sharp and blunt indenter tip. *Wear.* 2009;266(1-2):60-8.
62. Sajewicz E. Tribological behaviour of human enamel in red wine and apple juice environments. *Wear.* 2007;262(3-4):308-15.
63. Zheng J, Zhou ZR. Friction and wear behavior of human teeth under various wear conditions. *Tribo Int.* 2007;40(2):278-84.
64. Zheng L, Li Y, Zheng J, Wen M, Zhang TF, Qian LM, et al. A comparative study on the sliding wear behaviors of human tooth enamel, Cu-Zn alloy and Al₂O₃ ceramic. *Wear.* 2013;301(1-2):308-15.
65. Yassen GH, Platt JA, Hara AT. Bovine teeth as substitute for human teeth in dental research: a review of literature. *J Oral Sci.* 2011;53(3):273-82.
66. Wang L, Tang R, Bonstein T, Orme CA, Bush PJ, Nancollas GH. A new model for nanoscale enamel dissolution. *J Phys Chem B.* 2005;109(2):999-1005.
67. Johnson WM, Rapoff AJ. Microindentation in bone: hardness variation with five independent variables. *J Mater Sci Mater Med.* 2007;18(4):591-7.
68. Pinto MM, Cesar PF, Rosa V, Yoshimura HN. Influence of pH on slow crack growth of dental porcelains. *Dent Mater.* 2008;24(6):814-23.
69. Biotène [internet homepage]. [acess in 2014 Oct. 10]. Available from: <http://www.biotene.com/products/gel>.
70. Neill DJ, Kydd WL, Nairn RI, Wilson J. Functional loading of the dentition during mastication. *J Prosthet Dent.* 1989;62(2):218-28.